

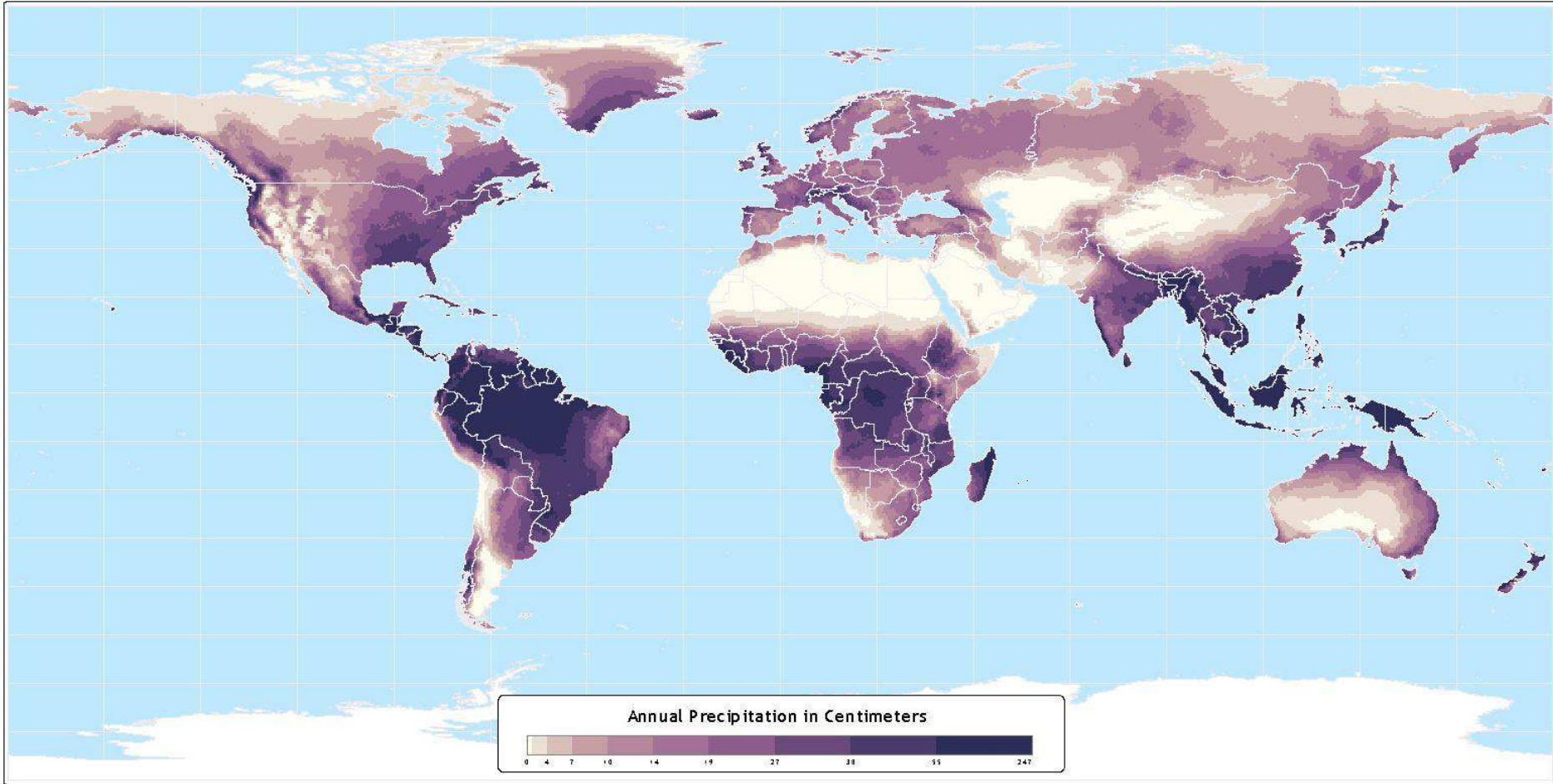
Ciclo da Água



Evapotranspiração

Depois do regime de temperaturas resultante do balanço de radiação e a pluviosidade, a evapotranspiração é o processo mais relevante na definição do clima local que influencia a biota.

Annual Total Precipitation

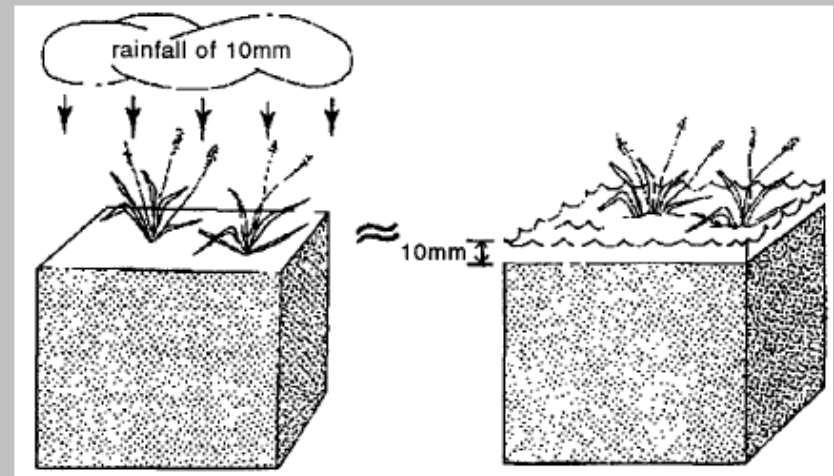
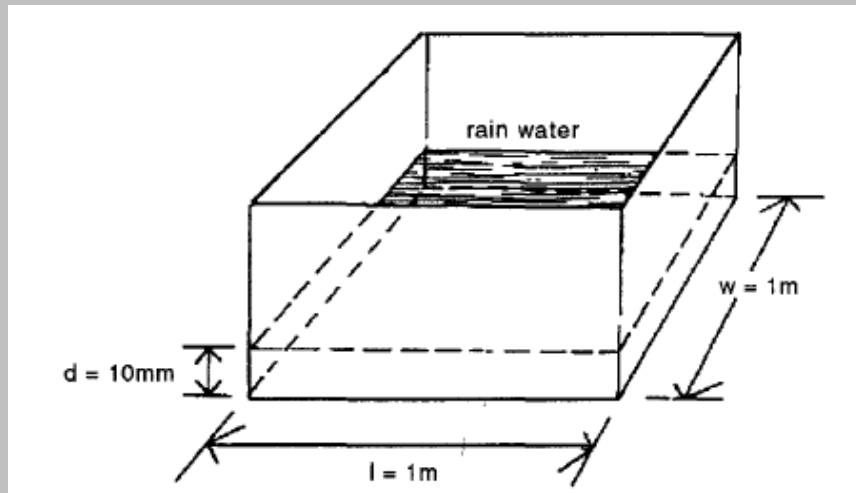


Data taken from: CRU 0.5 Degree Dataset (New et al)

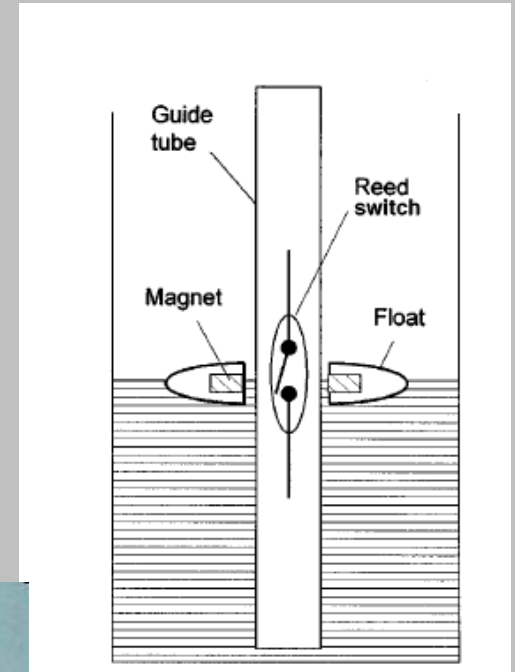
Atlas of the Biosphere
Center for Sustainability and the Global Environment
University of Wisconsin - Madison

Medição da precipitação

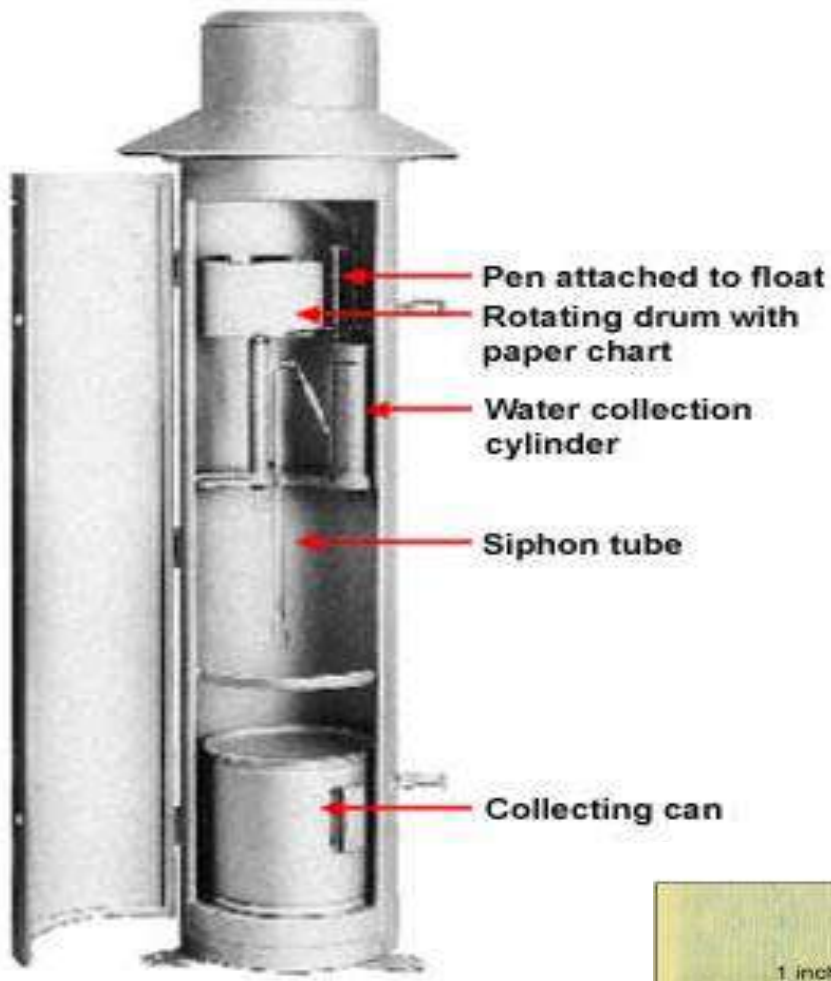
- ◆ O que representa mm de chuva?



PLUVIÔMETROS



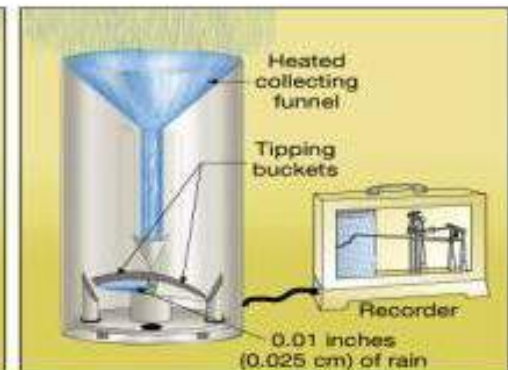
PLUVIÓGRAFO



(a) Simple rain gauge



(b) Standard rain gauge



(c) Tipping-bucket gauge

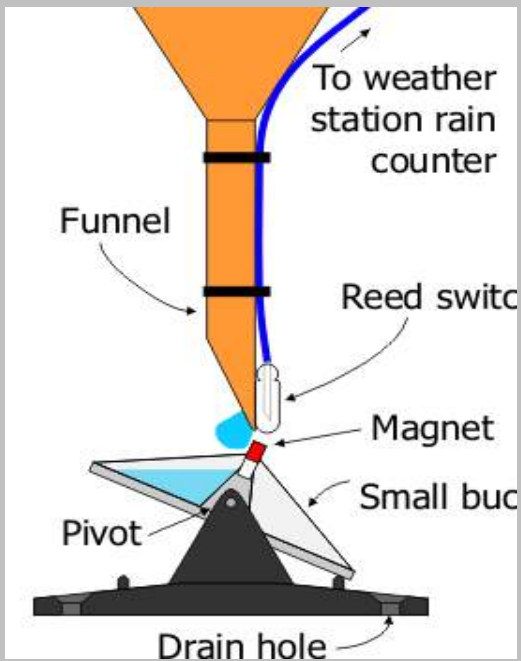
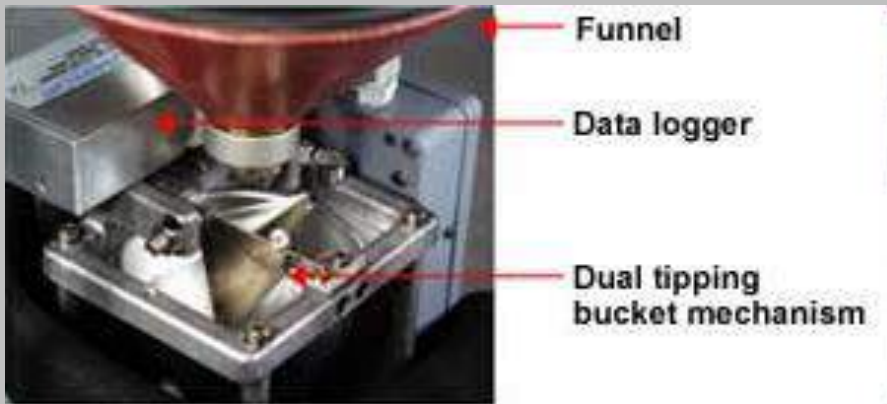
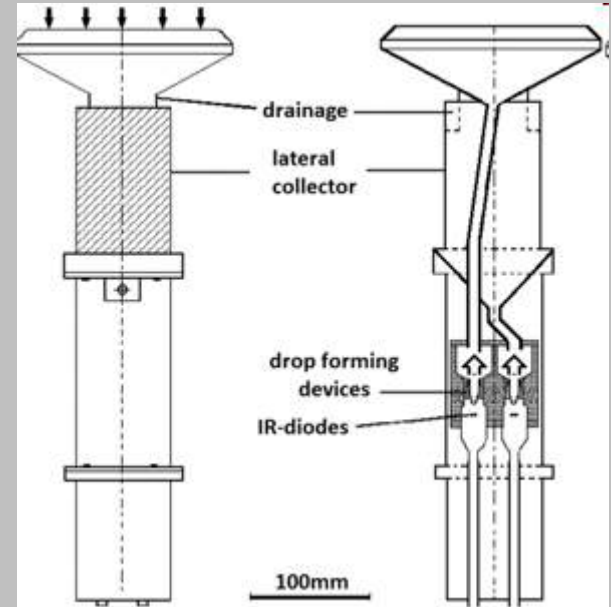
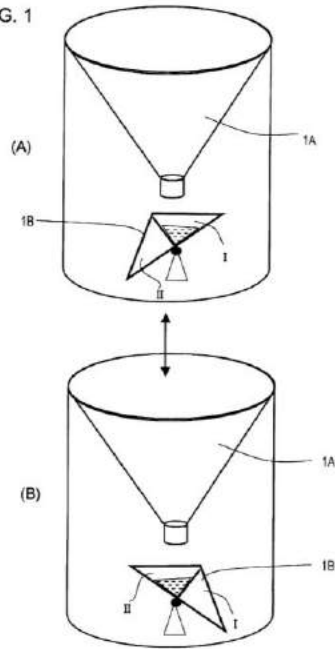
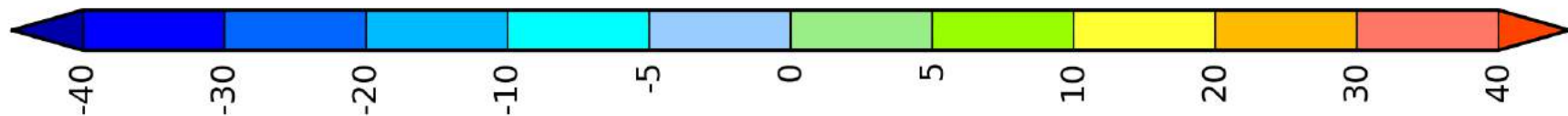
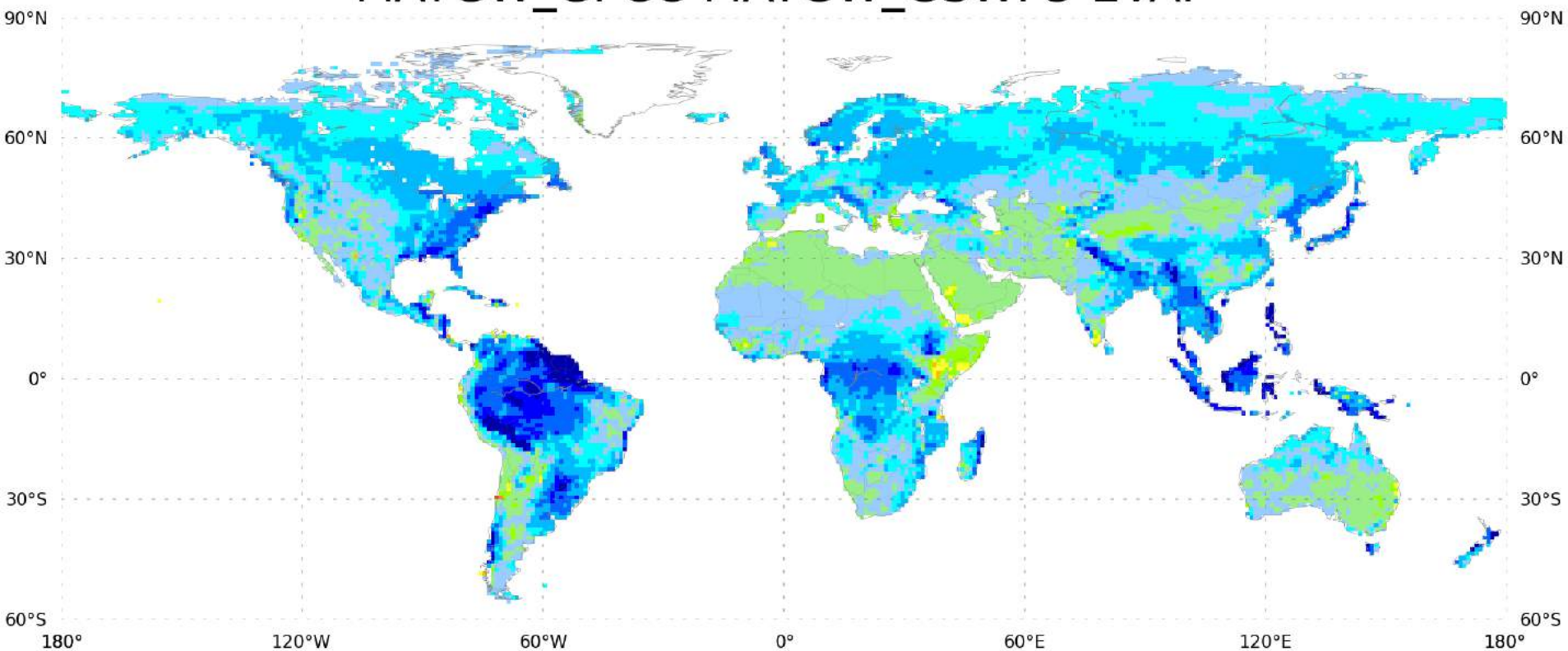


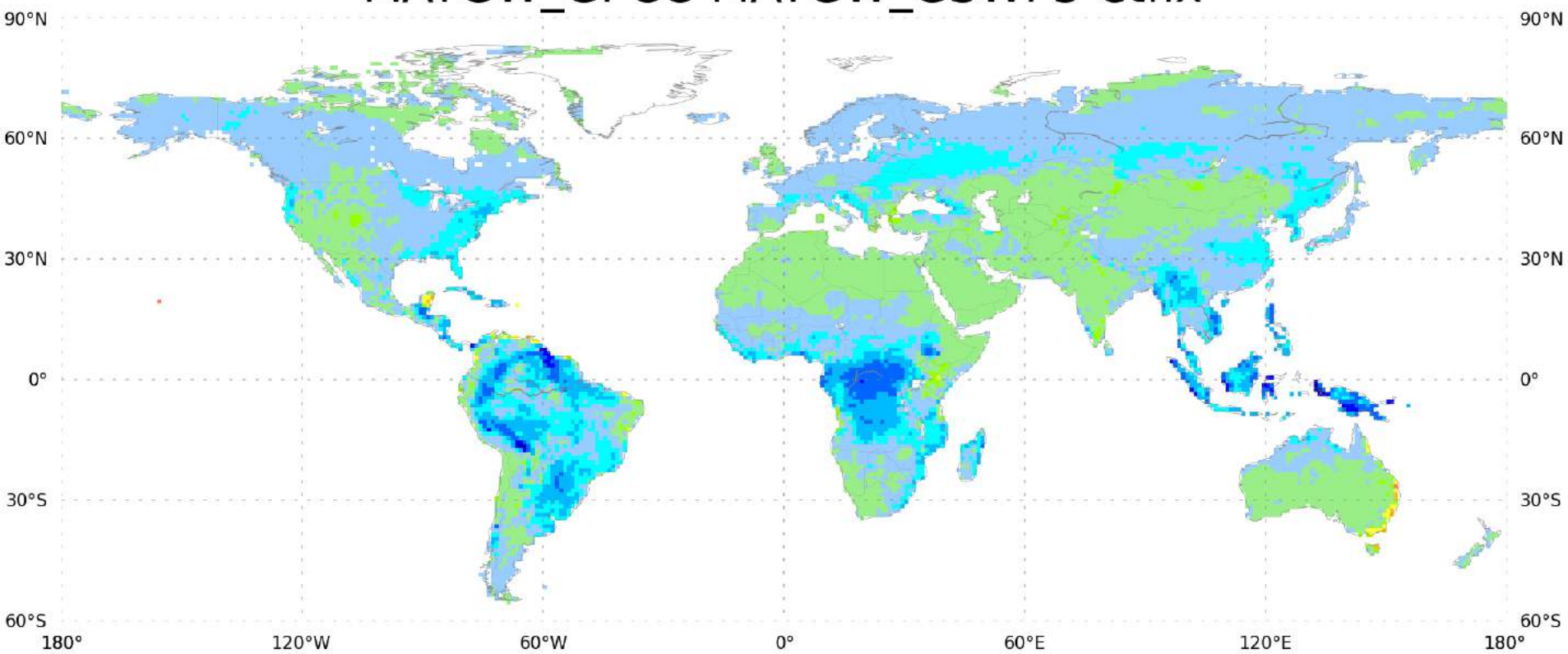
FIG. 1



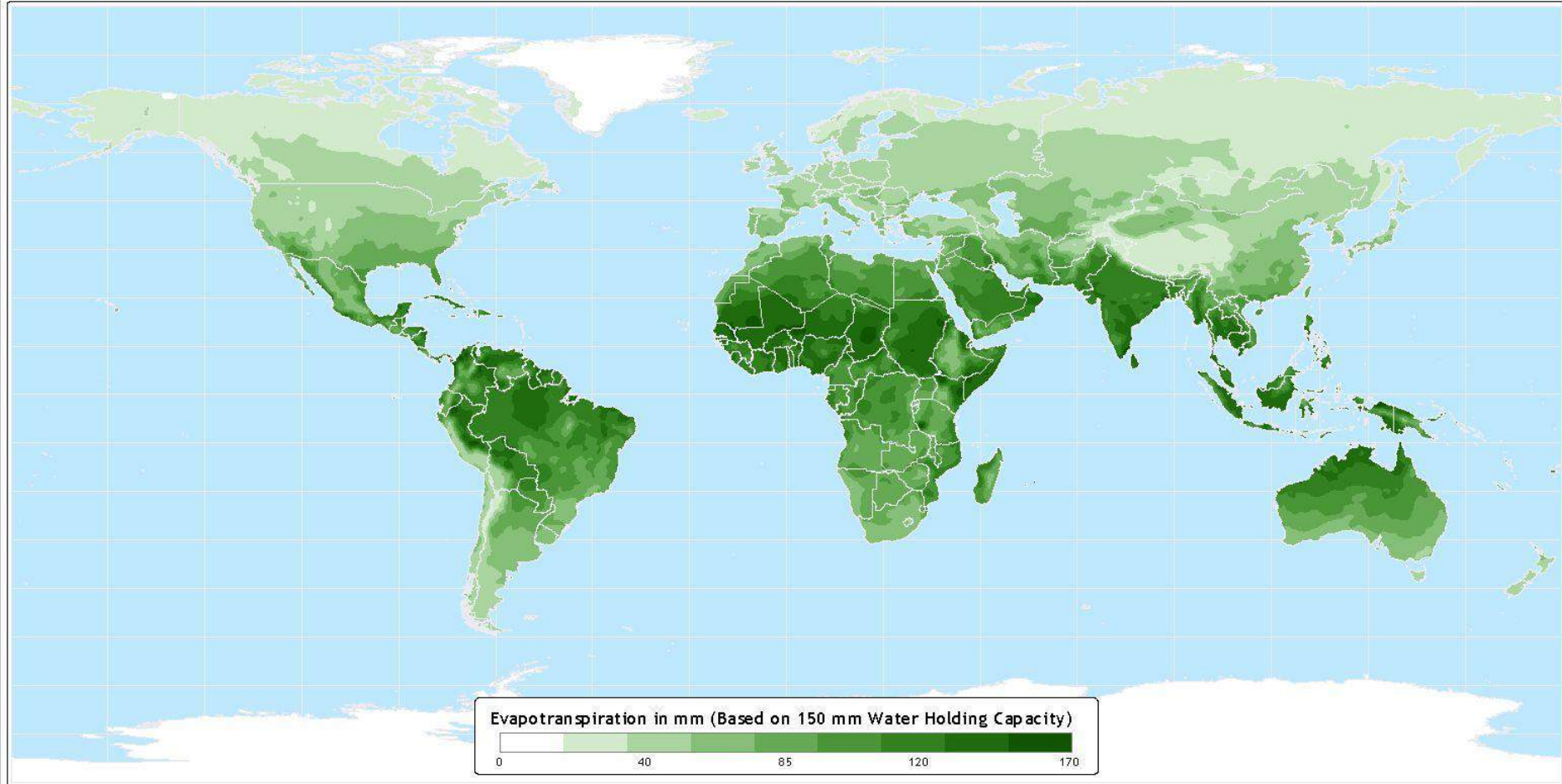
MATGW_GPCC-MATGW_GSWP3-EVAP



MATGW_GPCC-MATGW_GSWP3-etflx



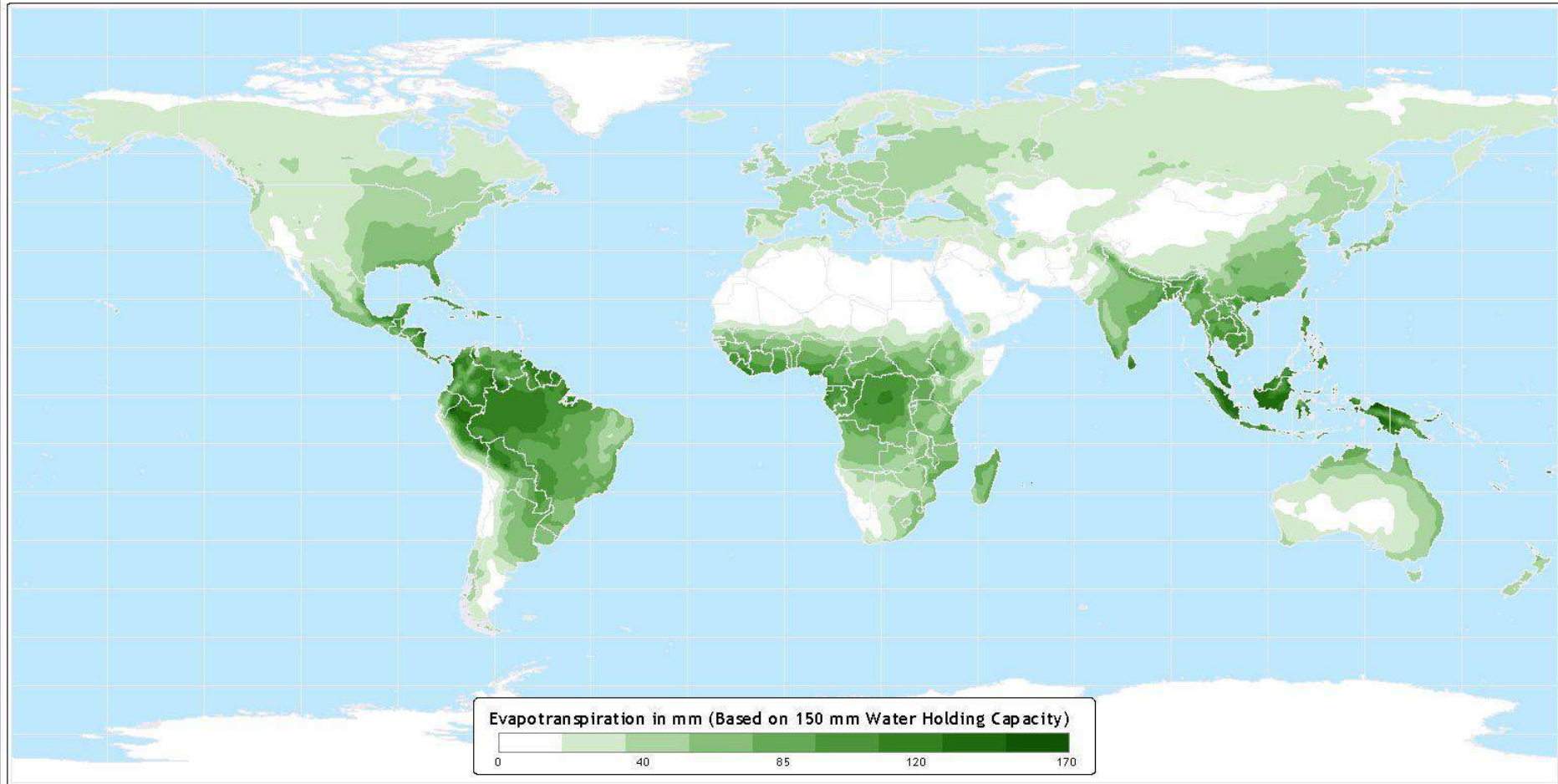
Potential Evapotranspiration



Data taken from: Willmott and Matsuura (2001)

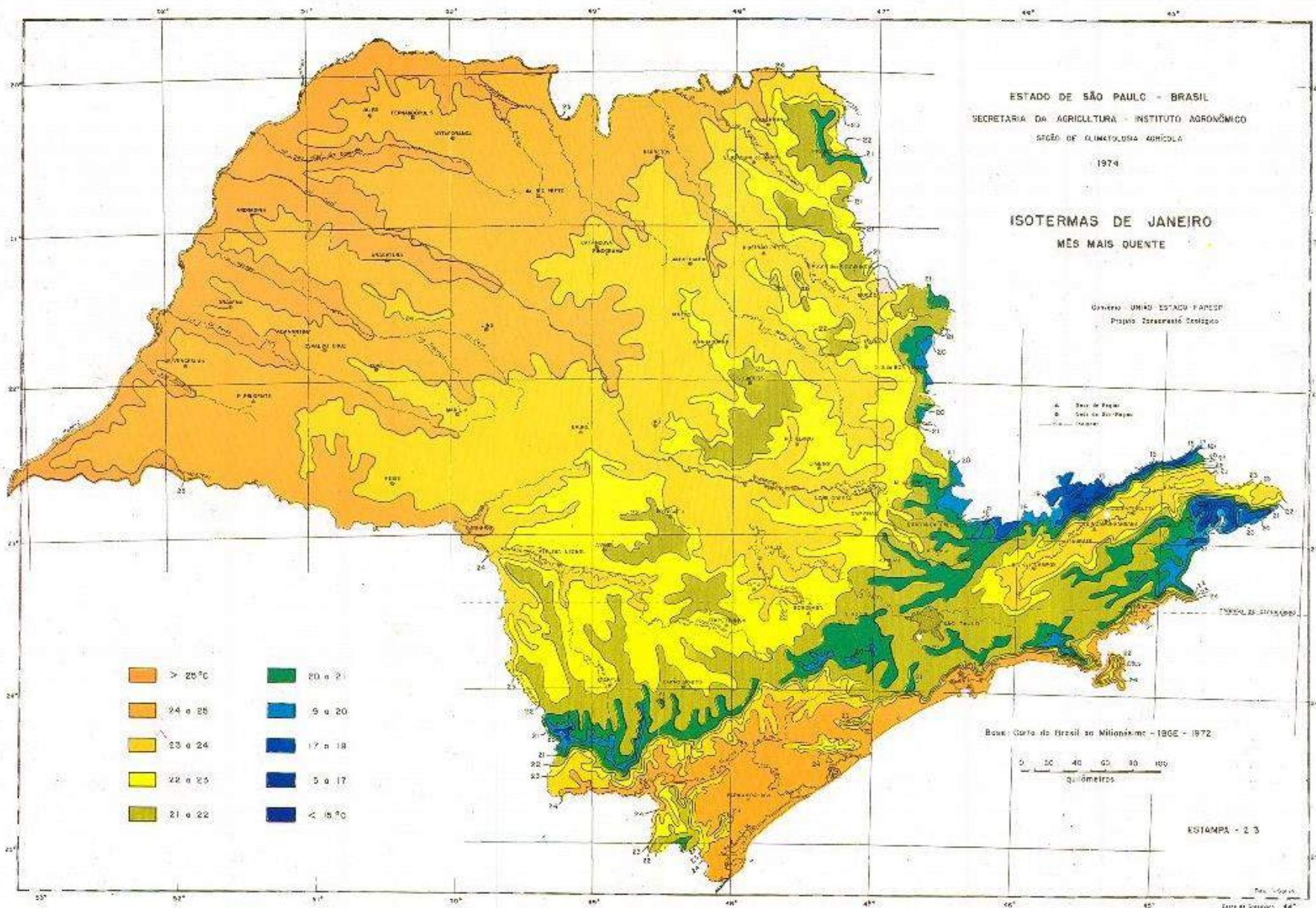
Atlas of the Biosphere
Center for Sustainability and the Global Environment
University of Wisconsin - Madison

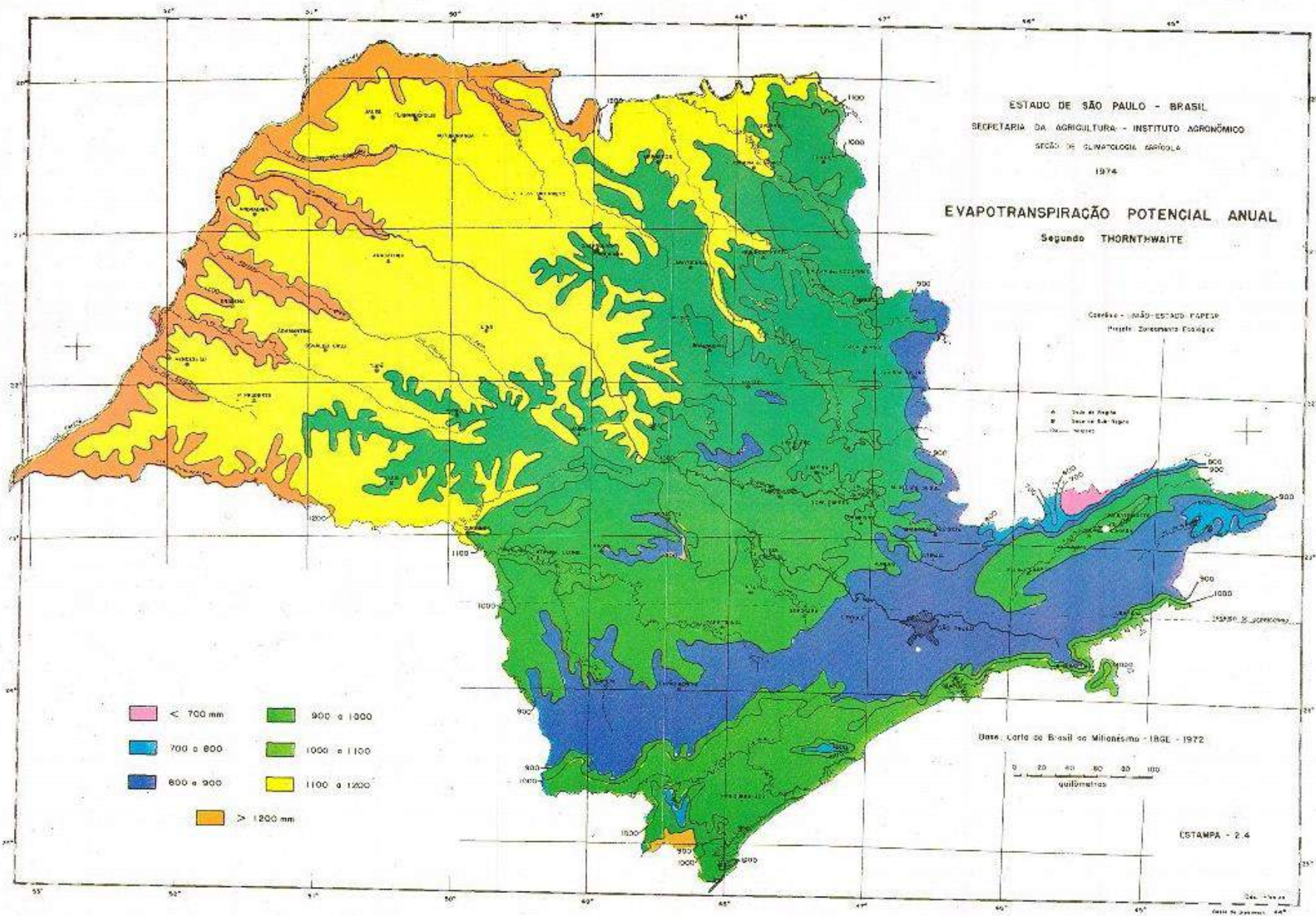
Evapotranspiration



Data taken from: Willmott and Matsuura (2001)

Atlas of the Biosphere
Center for Sustainability and the Global Environment
University of Wisconsin - Madison





ESTADO DE SÃO PAULO - BRASIL
 SECRETARIA DA AGRICULTURA - INSTITUTO AGRONÔMICO
 SEÇÃO DE CLIMATOLOGIA AEROLÓGICA
 1974

EVAPOTRANSPIRAÇÃO POTENCIAL ANUAL
 Segundo THORNTHWAITTE

Coord. - SÃO-ESTADOS PAPÉIS
 Projeto Zonamento Ecológico

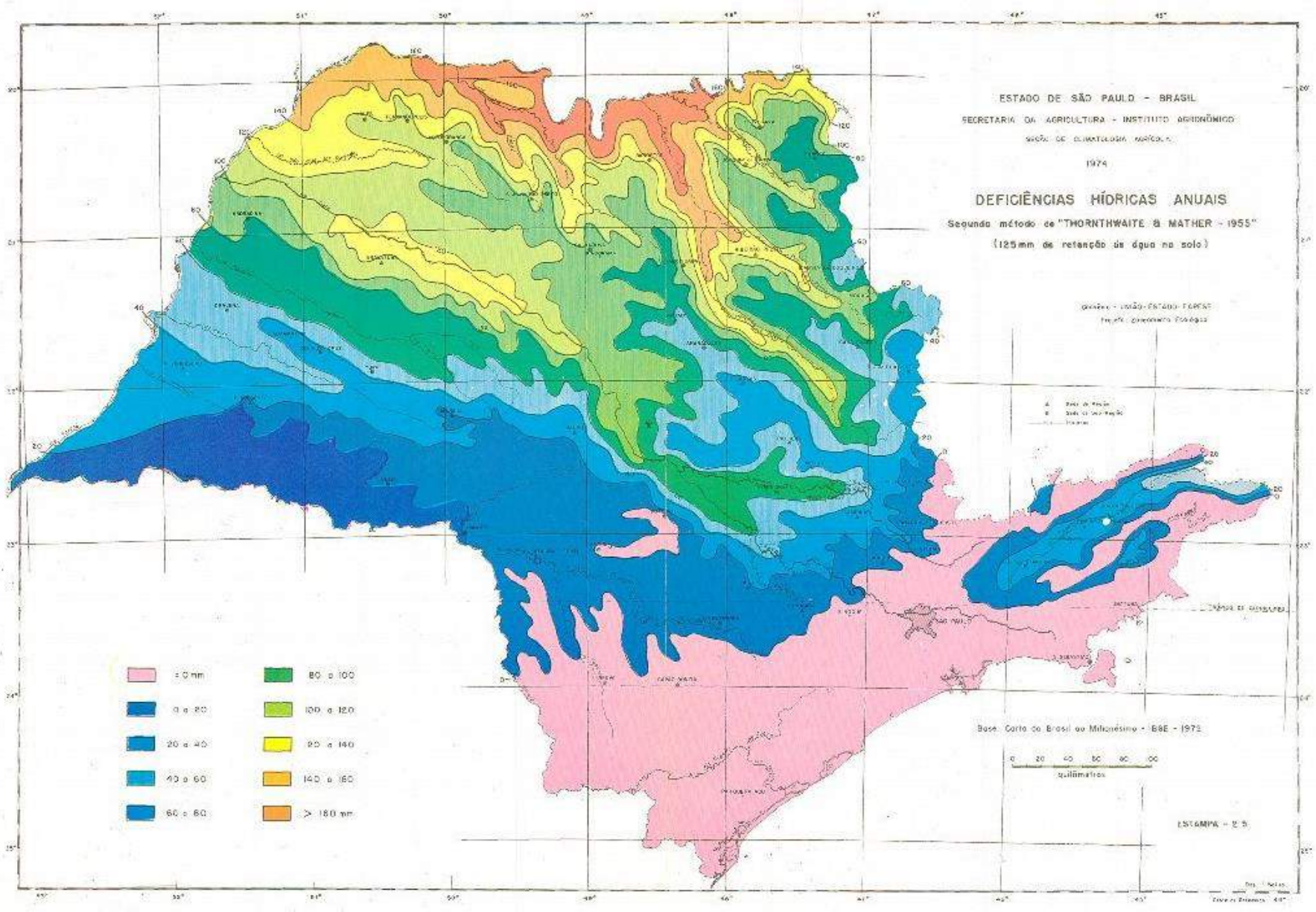
- ▲ São de Foz de Iguaçu
- São de São João del-Rei
- São de São Paulo

<ul style="list-style-type: none"> < 700 mm 700 a 800 800 a 900 > 1200 mm 	<ul style="list-style-type: none"> 900 a 1000 1000 a 1100 1100 a 1200
---	---

Base: Carta do Brasil em Milionésimos - IBGE - 1972



ESTAMPA - 2.4



ESTADO DE SÃO PAULO - BRASIL
 SECRETARIA DA AGRICULTURA - INSTITUTO AGRONÔMICO
 SEÇÃO DE CLIMATOLOGIA METEOROLÓGICA
 1974

DEFICIÊNCIAS HÍDRICAS ANUAIS
 Segundo método de "THORNTHWAITE & MATHER - 1955"
 (125mm de retenção de água no solo)

Gravado - 10/20 - ESTADOS UNIDOS
 Projeto - Geomática São Carlos

	$\leq 0\text{ mm}$		80 a 100
	0 a 20		100 a 120
	20 a 40		80 a 140
	40 a 60		140 a 160
	60 a 80		> 180 mm

Base: Carta do Brasil em Microsséculo - BSE - 1973

0 20 40 60 80 100
 quilômetros

ESTAMPA - 2/3

Proj. - Atlas
 Escala - 1:100.000
 Direção de Produção - 4/74

TANQUE DE EVAPORAÇÃO CLASSE A



Estimativa da evapotranspiração potencial

$$PET = 16 \left(\frac{L}{12} \right) \left(\frac{N}{30} \right) \left(\frac{10 T_a}{I} \right)^\alpha$$

PET – evapotranspiração potencial mm/mês;

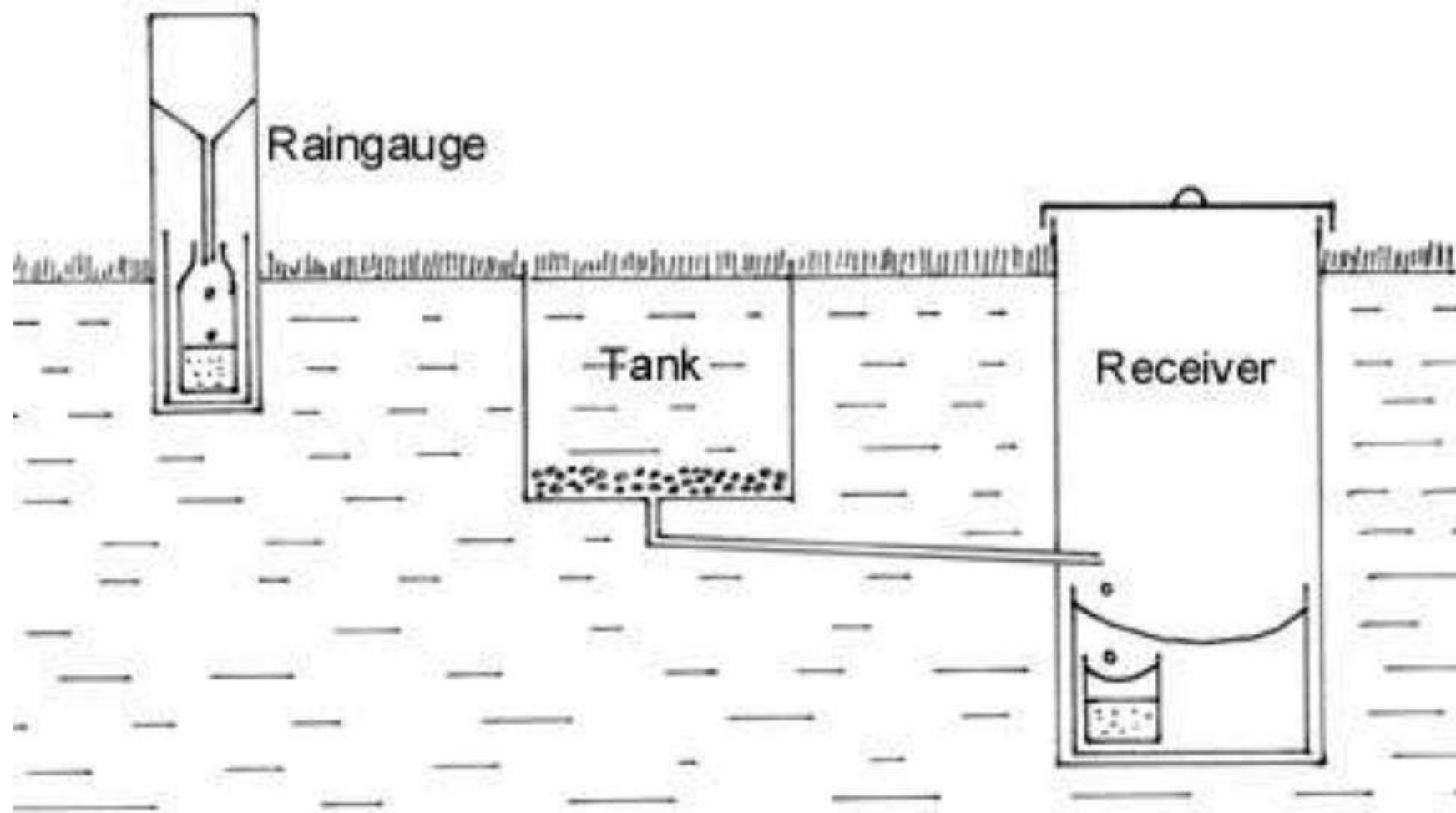
T_a – temperatura média do mês para o qual esta sendo calculado;

N – número de dias do mês;

L – número médio de horas de insolação do mês;

$$\alpha = (6.75 \times 10^{-7})I^3 - (7.71 \times 10^{-5})I^2 + (1.792 \times 10^{-2})I + 0.49239$$

$$I = \sum_{i=1}^{12} \left(\frac{T_{ai}}{5} \right)^{1.514}$$



Mean water balance of the earth in $10^3 \text{ km}^3 \text{ a}^{-1}$ (Houghton 1997)

surface	precipitation	evaporation	runoff
land surface	111	71	40
ocean surface	385	425	40*

* water vapor transport in the atmosphere from the ocean to the land, for instance as cloud water

Mean annual data of the water cycle of Germany (Source: German Meteorological Service, Hydrometeorology) in mm ($1 \text{ mm} = 1 \text{ L m}^{-2}$)

precipitation	evaporation		
779 mm	463 mm		
into evaporation	463 mm	from transpiration	328 mm
into ground water	194 mm	from interception	72 mm
into runoff	122 mm	from soil evaporation	42 mm
		from surface water evaporation	11 mm
		from service water evaporation	11 mm

Coeficiente de Bowen (razão de Bowen)

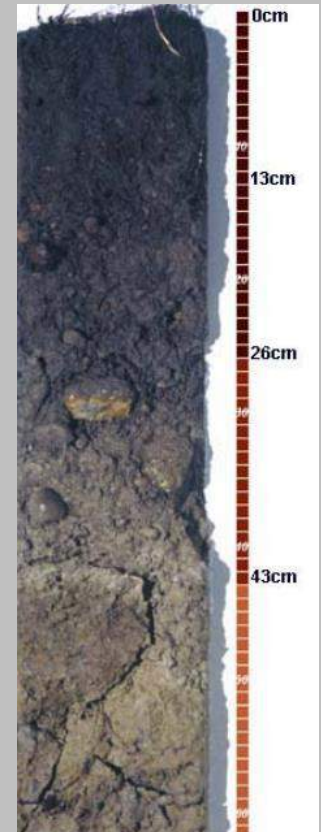
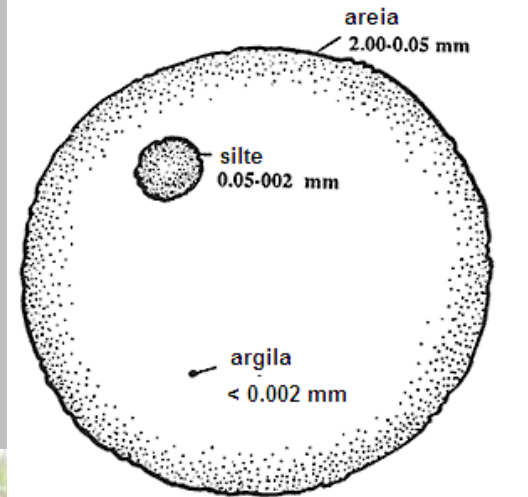
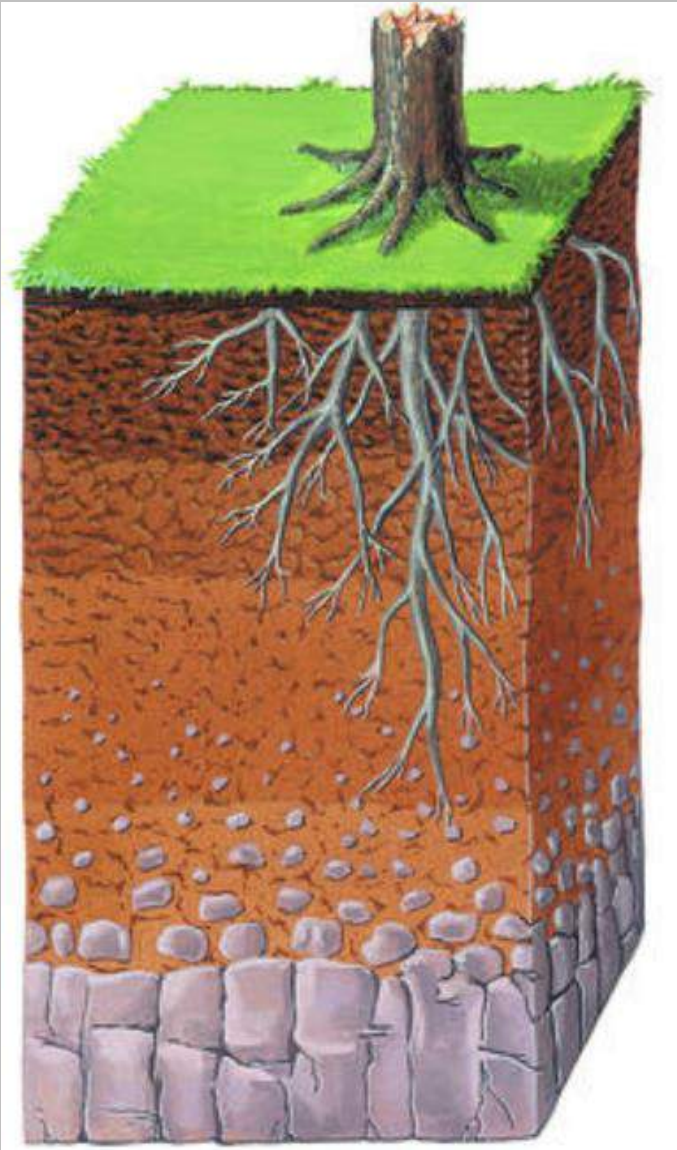
A razão de Bowen pode definir a dinâmica do calor armazenado pela relação entre a perda de calor sensível por convecção livre e a perda por calor latente.

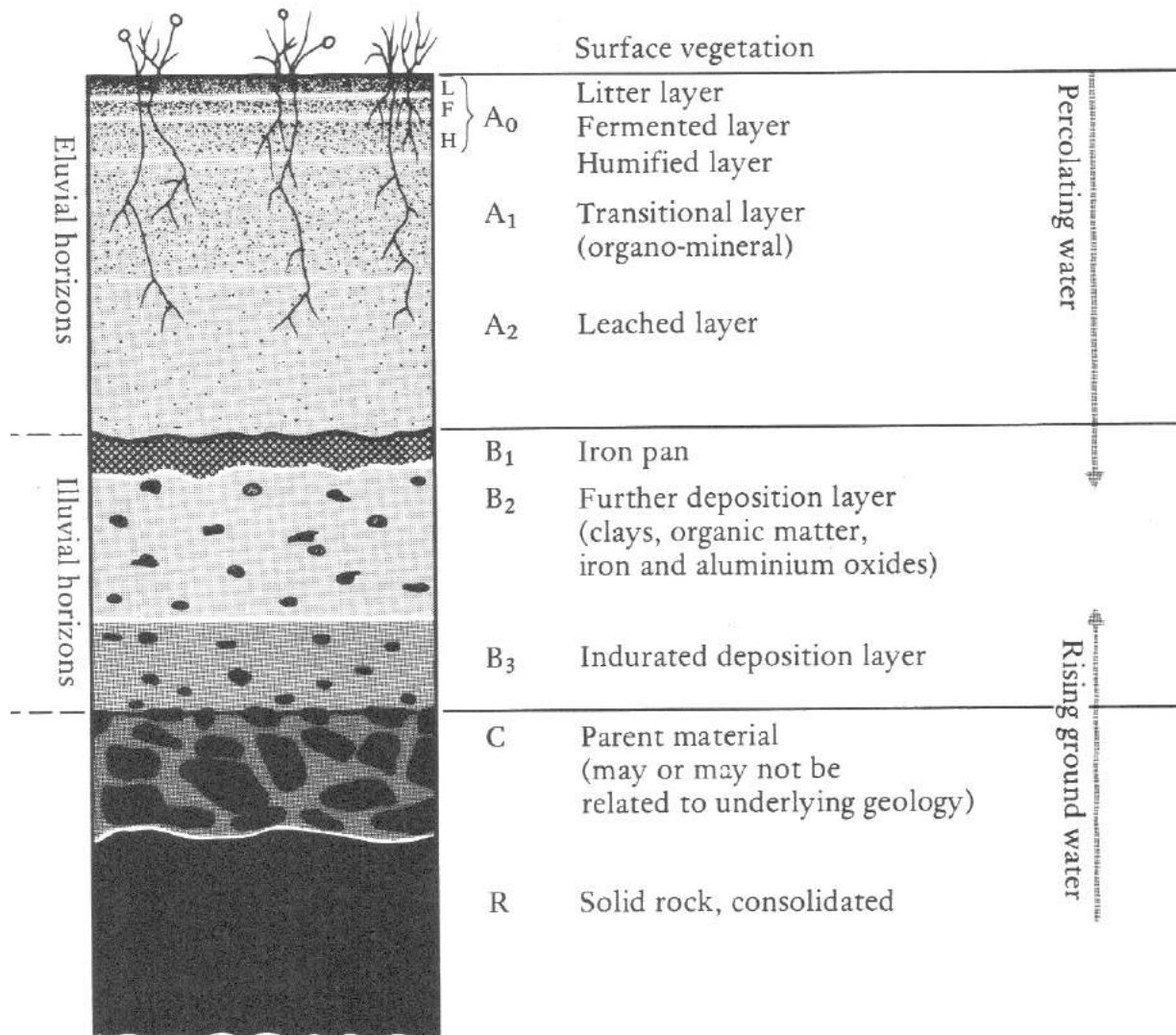
$$Q = R_n - X = \lambda E + C$$

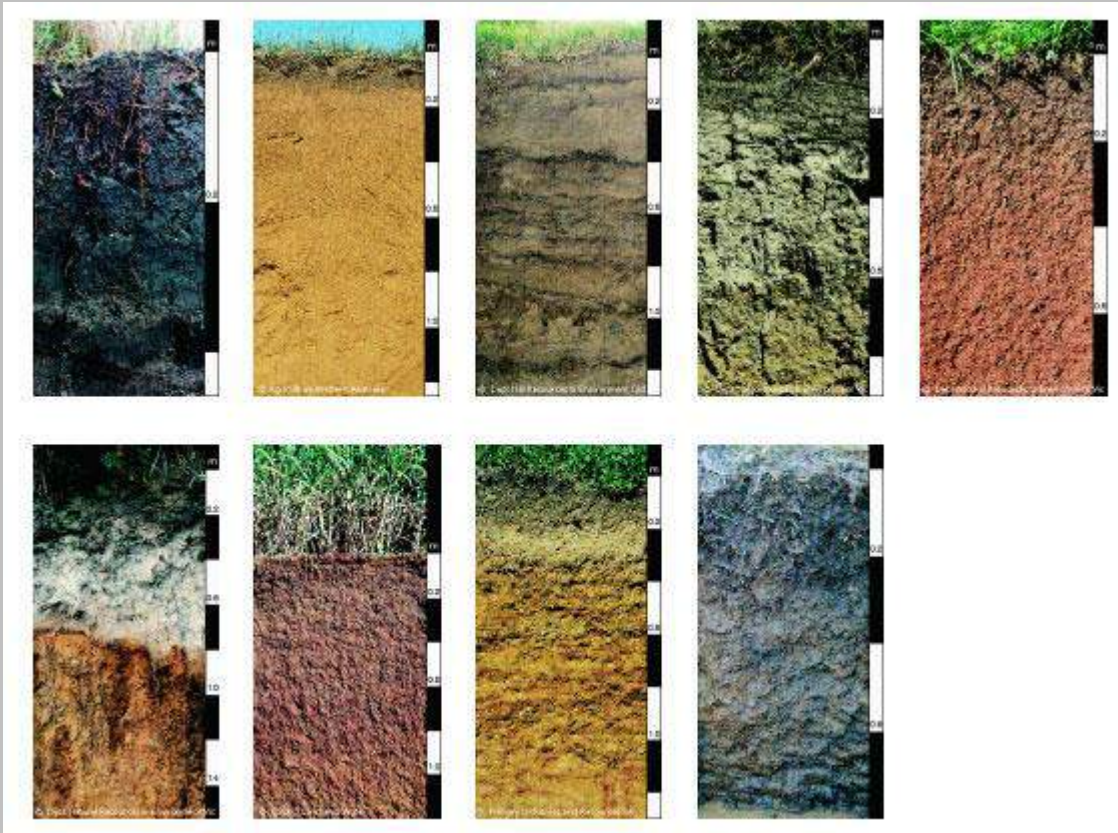
A partir do balanço de energia podemos supor que uma quantidade de calor X é armazenada no ambiente considerando as perdas por calor latente e calor sensível. A razão entre esses fluxos é a razão de Bowen. Uma das utilidades do emprego desse parâmetro é a avaliação do impacto da atividade humana no balanço de energia. O aumento no valor é associado com atividade antrópica.

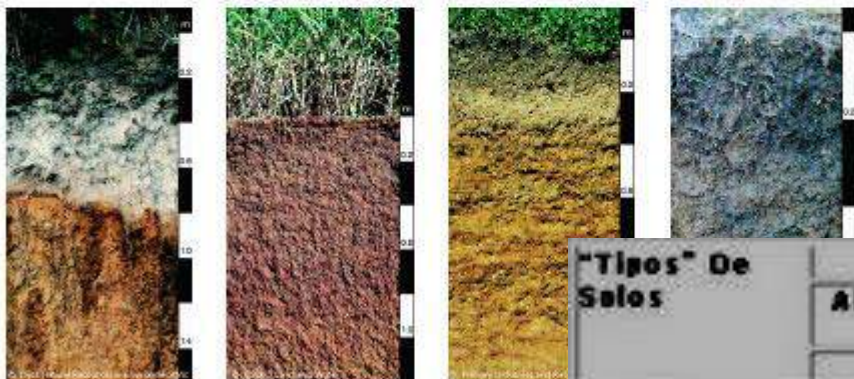
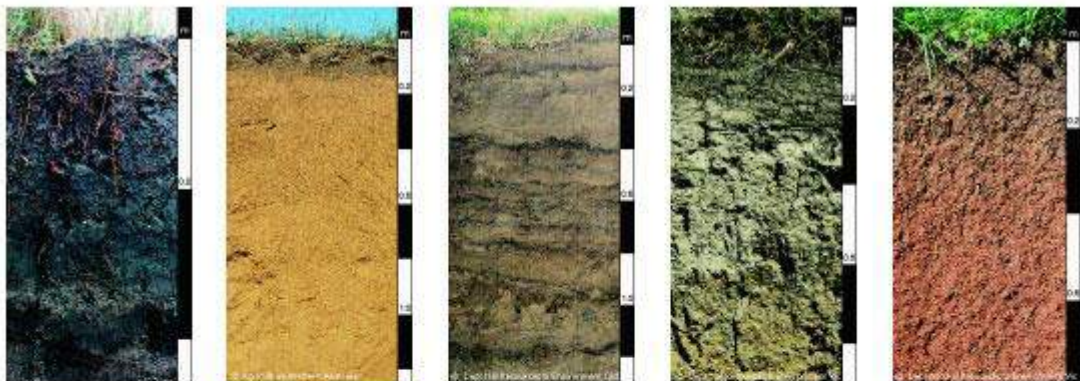
$$C/\lambda E = \beta = \gamma \frac{r}{r_h} \frac{T_s - T_a}{e_s - e_a} = \gamma^* \frac{T_s - T_a}{e_s - e_a}$$

Solo

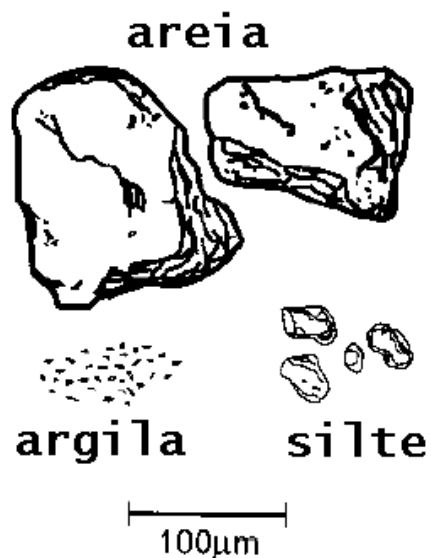








"Tipos" De Solos	Brasil		Relativa por regiões				
	Absoluta	Relativo	Norte	Nordeste	Centro-Oeste	Sudeste	Sul
	km ²	%			%		
Alissolos	371.874,5	4,36	8,67	0,00	0,00	0,00	6,34
Argissolos	1.713.853,5	19,98	24,40	17,20	13,77	20,68	14,77
Cambissolos	232.139,2	2,73	1,06	2,09	1,59	8,64	9,28
Chernossolos	42.363,9	0,53	0,00	1,05	0,27	0,21	3,94
Espodossolos	133.204,9	1,58	3,12	0,39	0,26	0,37	0,00
Gleissolos	311445,3	3,66	6,41	0,78	2,85	0,5	0,4
Latossolos	3.317.590,3	38,73	33,86	31,01	52,81	56,30	24,96
Luvissolos	225.594,9	2,65	2,75	7,60	0,00	0,00	0,00
Neossolos	1.246.898,9	14,57	8,49	27,55	16,36	9,38	23,23
Nitossolos	119.731,3	1,41	0,28	0,05	1,22	2,56	11,48
Planossolos	155.152,1	1,84	0,16	6,61	1,73	0,16	3,00
Pitossolos	508.539,4	5,95	7,60	4,68	8,78	0,00	0,00
Vertissolos	169.015,3	2,01	3,20	0,99	0,36	1,20	2,60



Designação dos lotes

Diâmetro das partículas em mm

Areia grossa	2 — 0,2
Areia fina	0,2 — 0,02
Limo	0,02 — 0,002
Argila	< 0,002

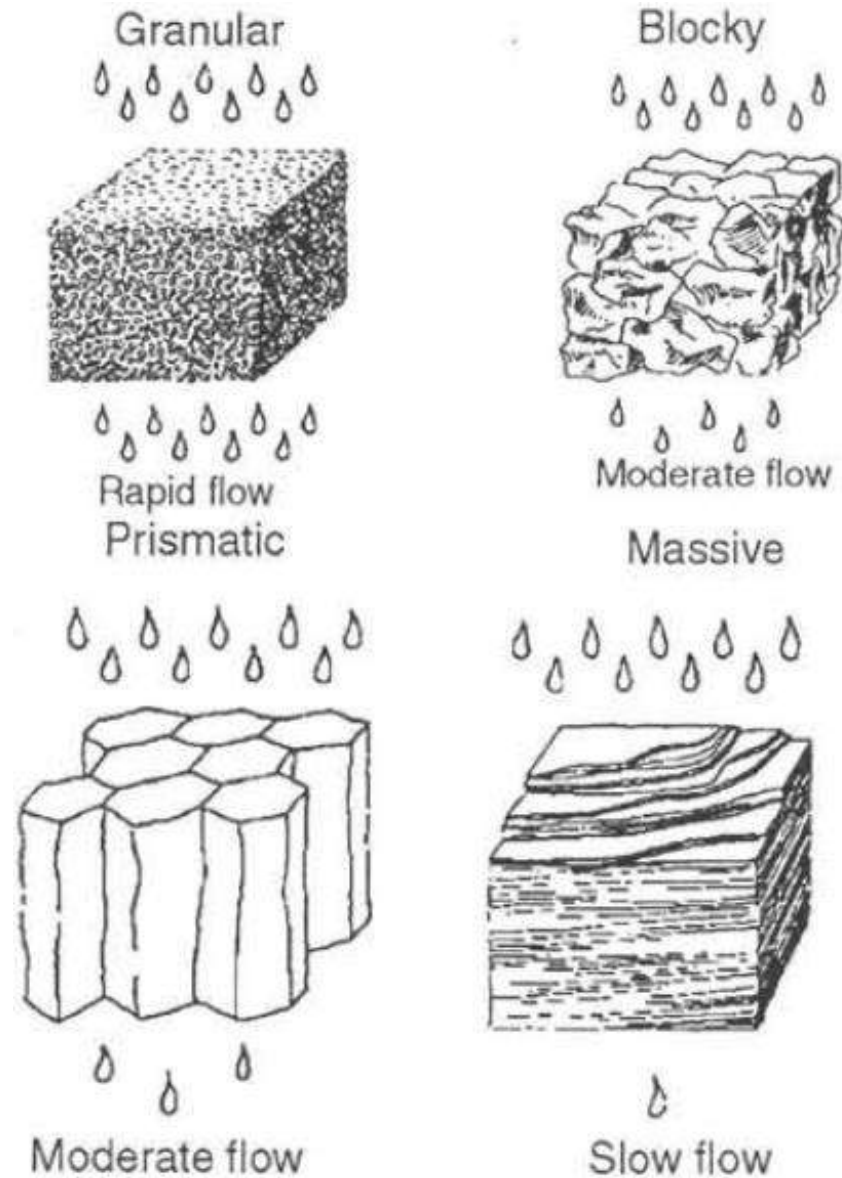
Quanto a elementos grosseiros

Designação

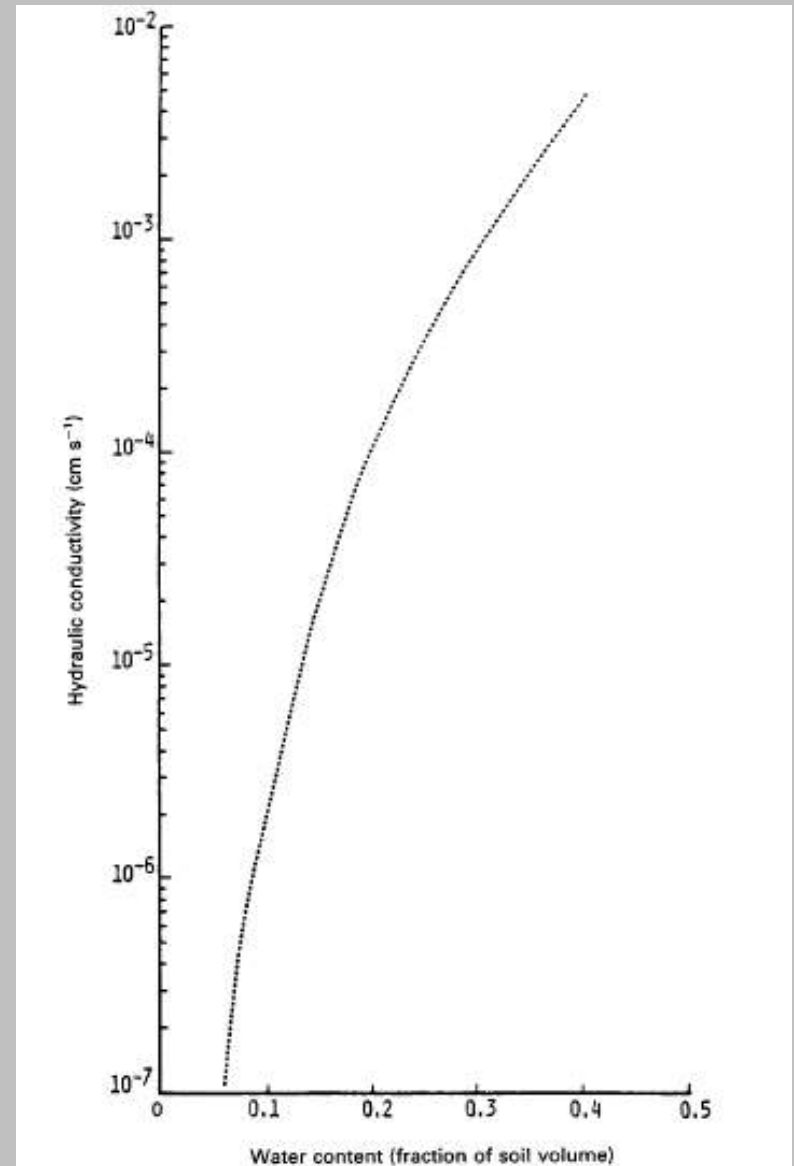
Diâmetro em mm

Blocos	> 200
Calhaus	200 — 100
Pedras	100 — 50
Pedras miúdas	50 — 20
Cascalho	20 — 5
Saibro	5 — 2

A estrutura do solo afeta a condutividade hidráulica. A composição granulométrica permite prever a interação com a precipitação e com a forma de irrigação.



Quanto mais molhado o solo, maior é a condutividade hidráulica. O solo seco reduz a perda de água a partir das camadas mais profundas.



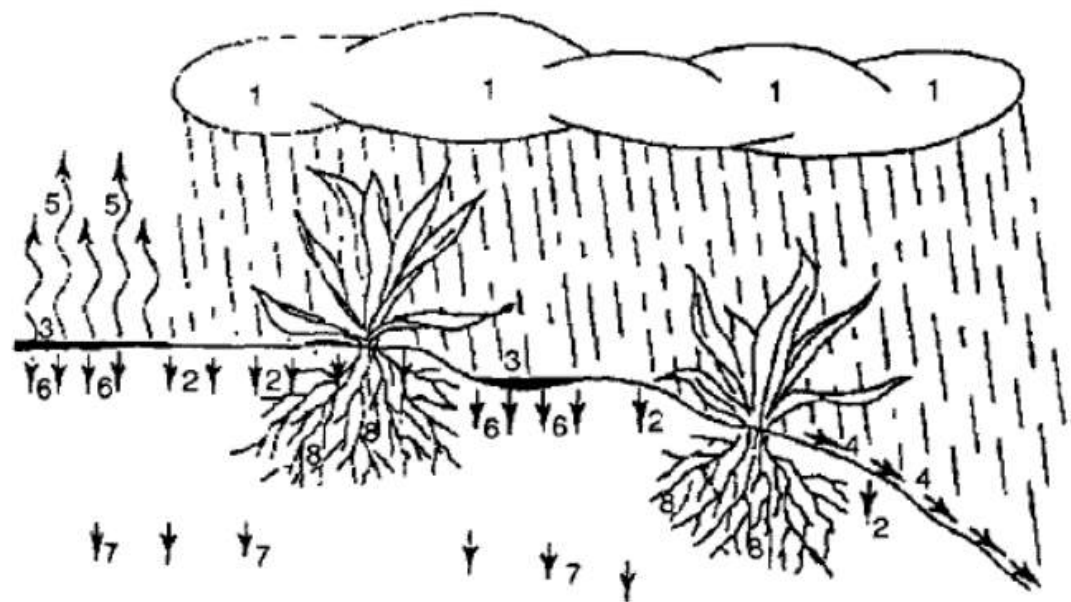
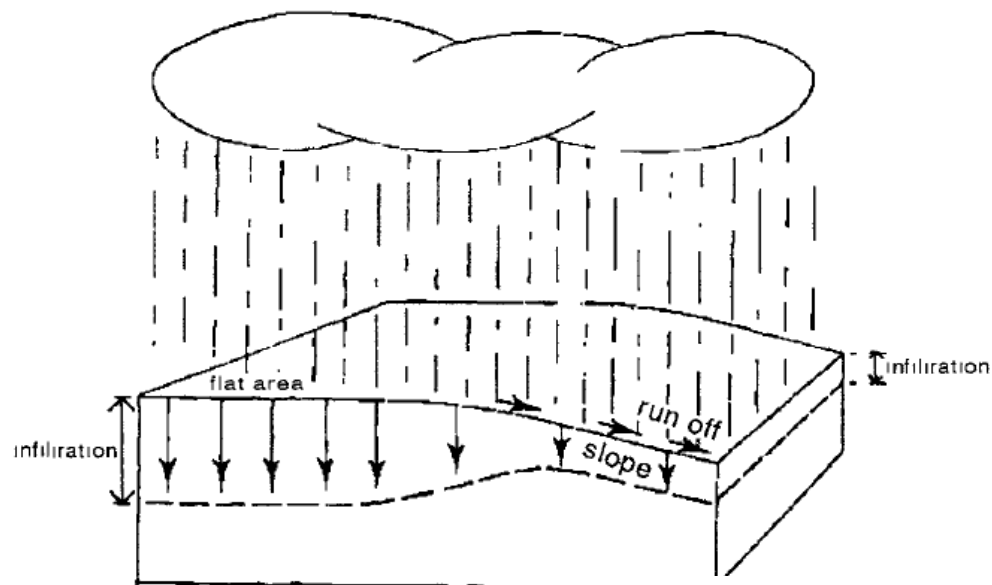
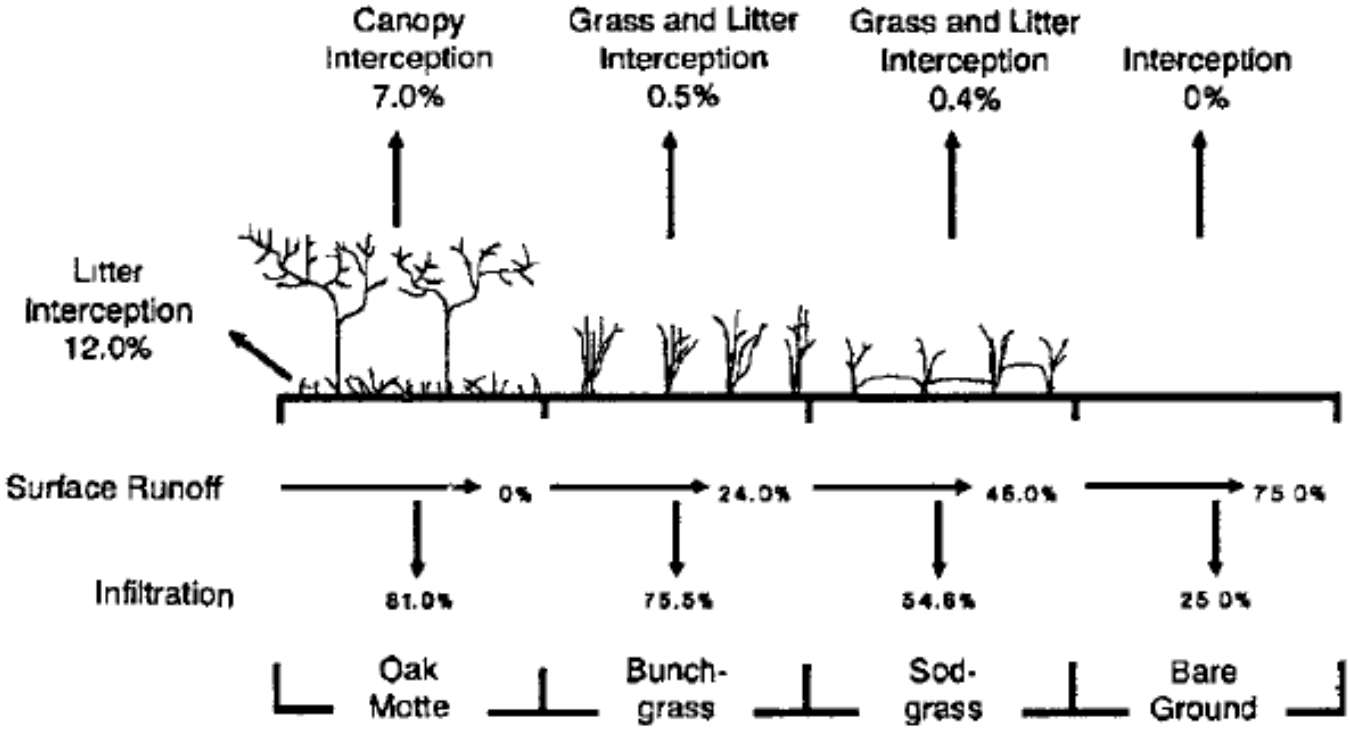
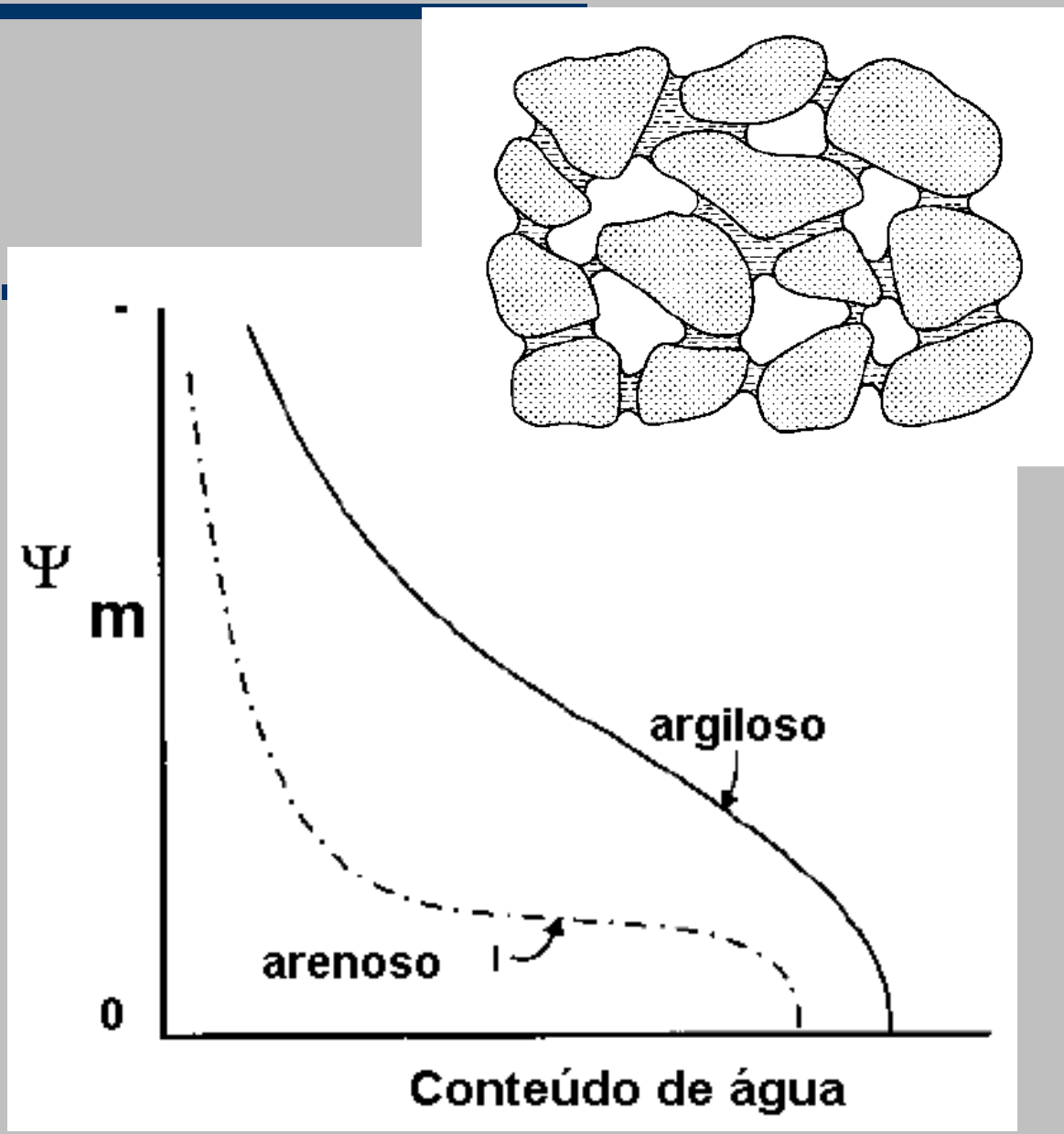
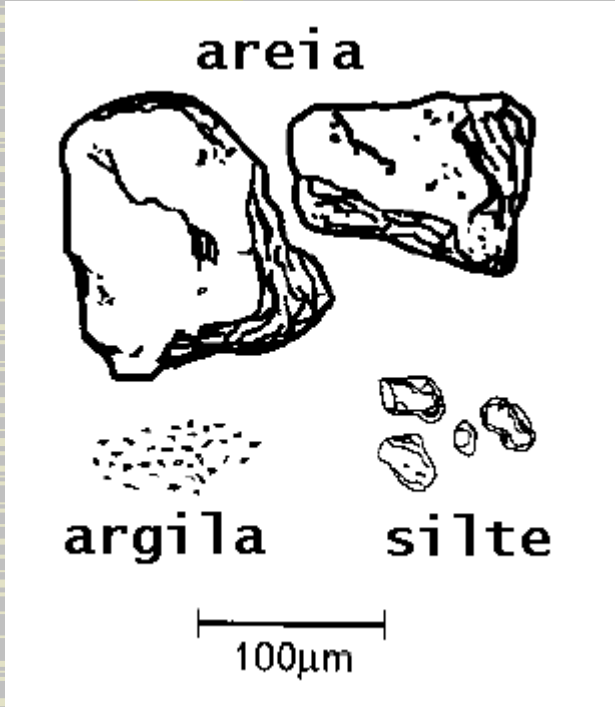


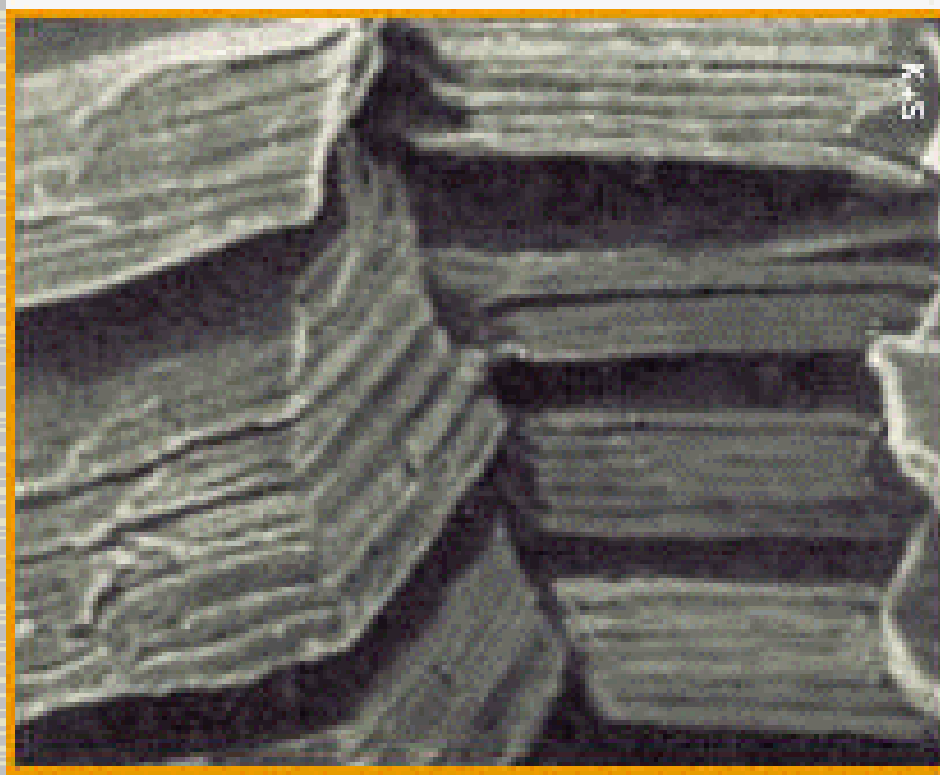
Fig:32. Effective Rainfall (8) = (1) - (4) - (5) - (7)

A cobertura vegetal modula o balanço hídrico da superfície.

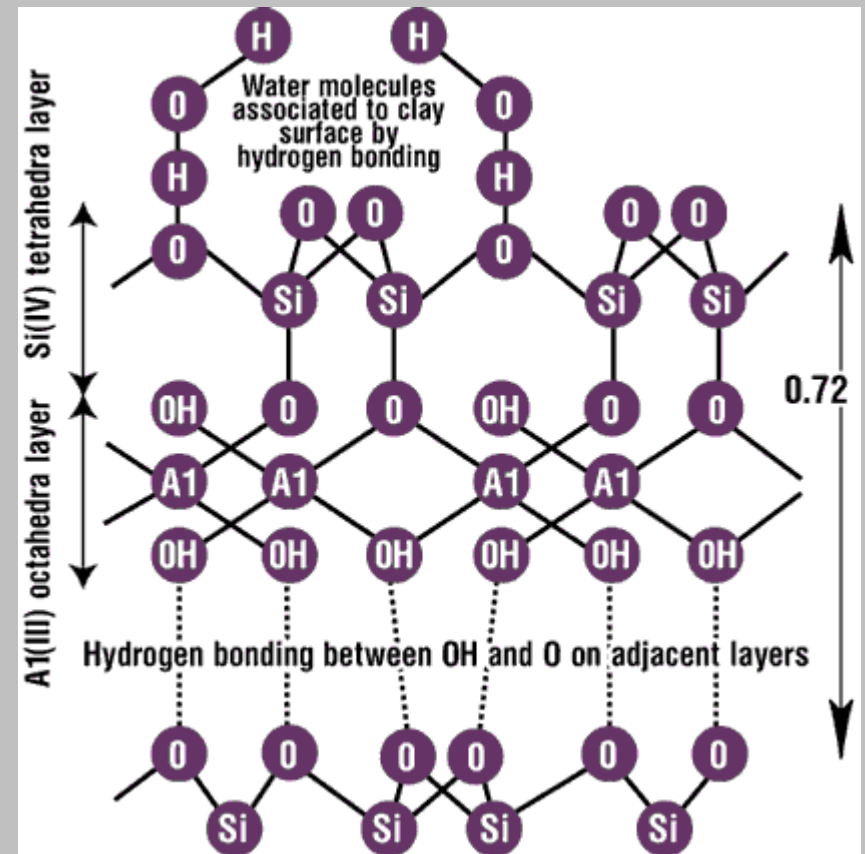




Partícula de argila

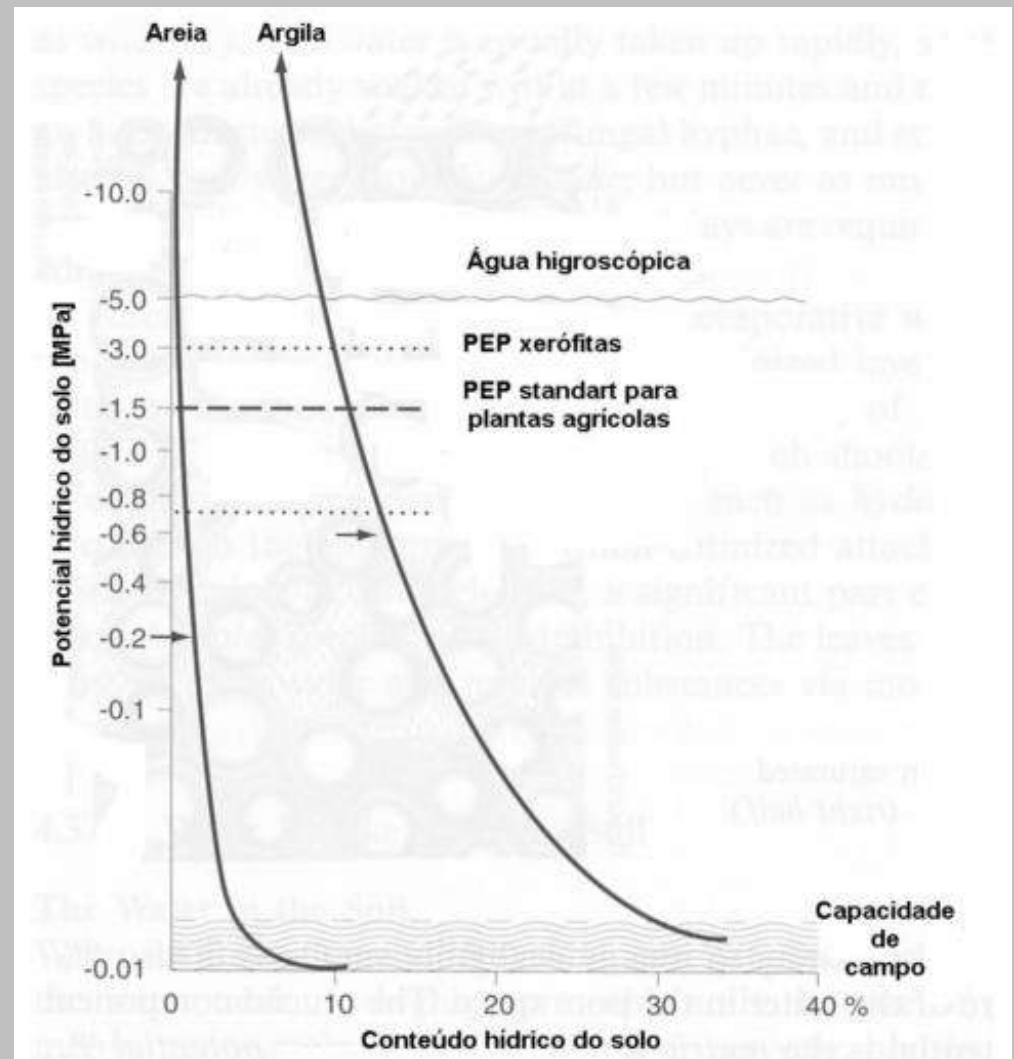


Disposição da água em relação aos silicatos da partícula de argila

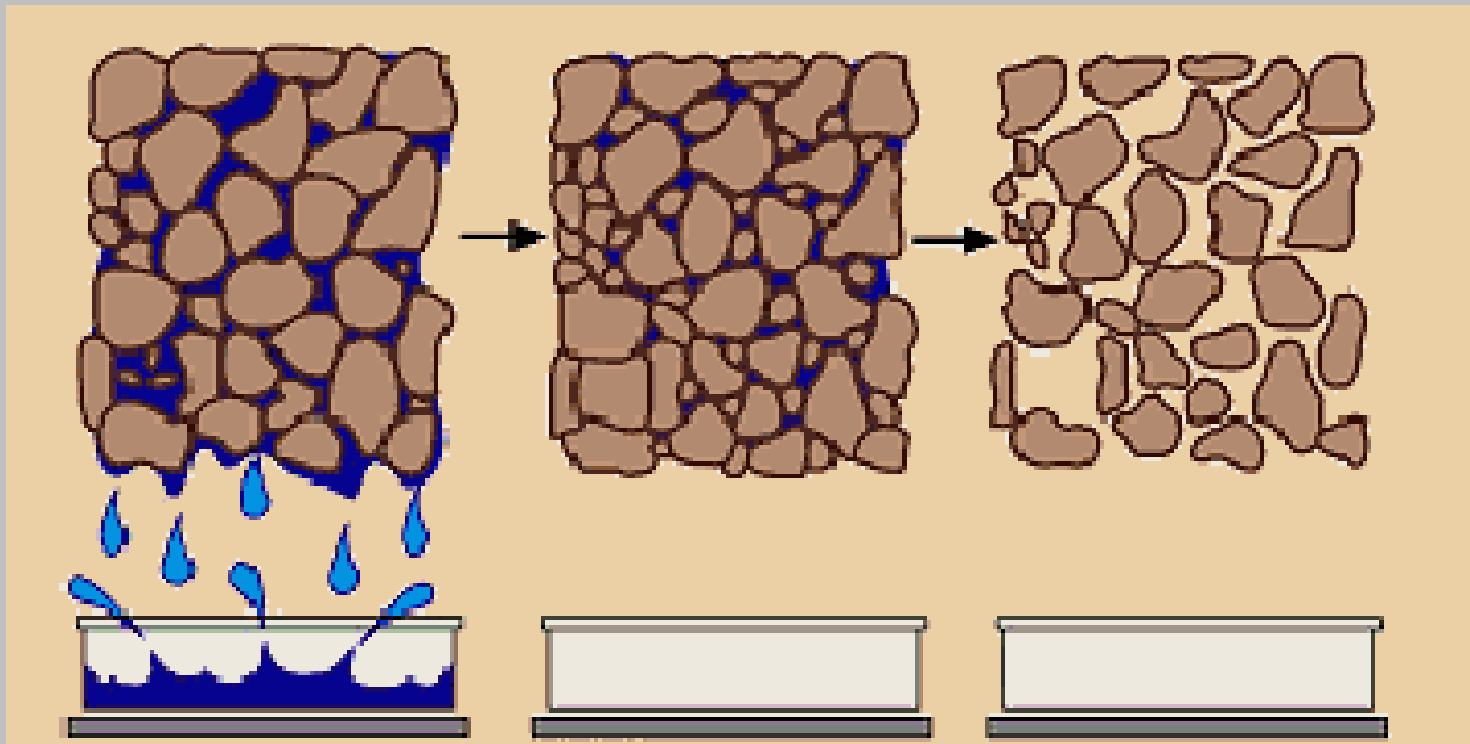


Capacidade de campo :
capacidade máxima de
retenção de água após a
drenagem gravitacional

Ponto de murchamento
permanente:
Potencial mátrico que não
pode ser vencido pela força
de sucção da planta.



Água disponível: conteúdo de água no solo verificado entre o
ponto de murchamento permanente e a capacidade de campo.



Solo saturado

Capacidade de campo

Ponto de Murchamento Permanente

Água disponível para as plantas = profundidade de enraizamento (m) X capacidade de campo (m^3 / m^3)

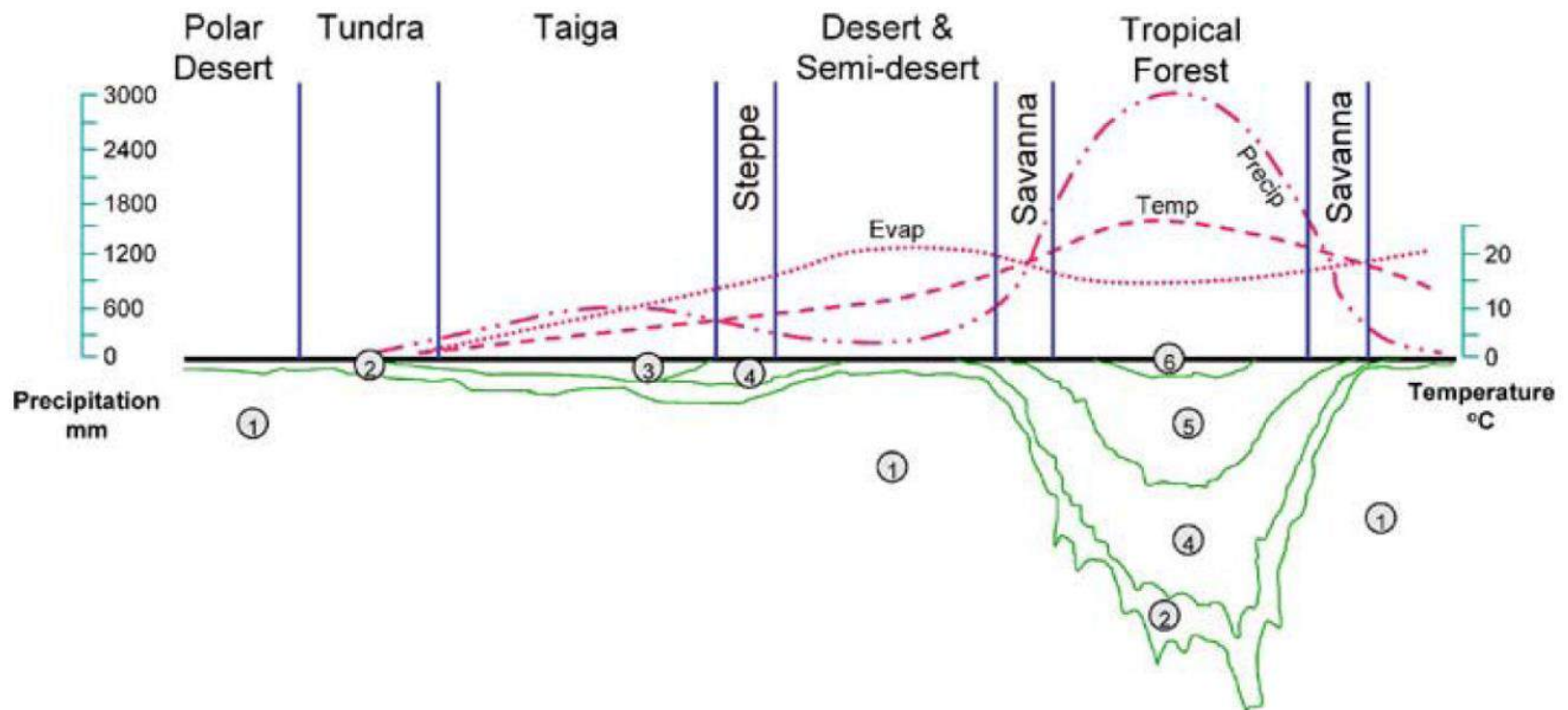


Figure G6 Polar-Equatorial transect, correlating the land ecosystems with variation in temperature and moisture conditions, and with a generalized, qualitative assessment of the related geography of the soil-forming environment under well-drained conditions: 1: Bedrock. 2: Incipient chemical alteration limited by cold in tundra, and lack of water in desert and semi-desert. Alkaline conditions and salt deposition under semi-desert conditions. 3: Acidic conditions favoring podzolization. 4: Near neutral conditions with respect to pH, bisiallization. Calcite deposition possible under steppic vegetation. 5: Acidic conditions favoring monosiallitis. 6: Acidic conditions favoring allitisation.

A CONDUTIVIDADE TERMICA DO SOLO VARIA COM O CONTEÚDO DE ÁGUA, ESTRUTURA E GRANULOMETRIA

O solo atua como um compartimento do balanço de energia e massa da biosfera, servindo de dreno e de fonte de energia. A atividade metabólica de raízes e organismos do solo é proporcional à temperatura quando o conteúdo de umidade é adequado.

A condutividade térmica do solo é um elemento importante no balanço de energia e atividade metabólica na biosfera, especialmente quando a variação na temperatura da atmosfera é alta.

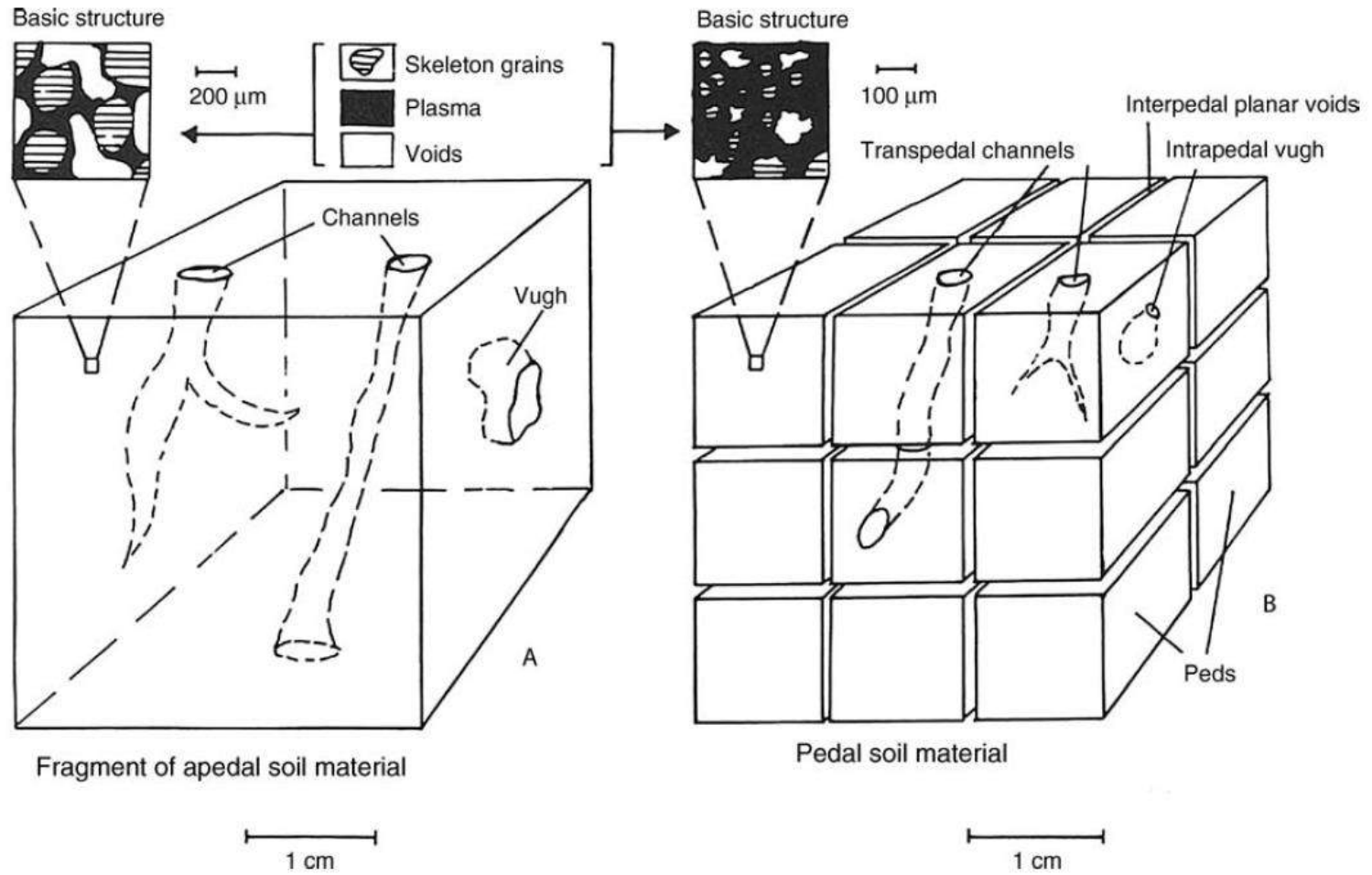
SOLO OU COMPONENTE	SECO W/m.K	UMIDO W/m.K
AREIA	0,25 a 0,32	1,77 a 2,84
AREIA GROSSA	0,13	0,52
SOLO ARGILOSO	0,25	1,59
SOLO LODOSO	0,4	1,0
TURFA	0,06	0,37
LITTER FLORESTAL	0,1	0,4

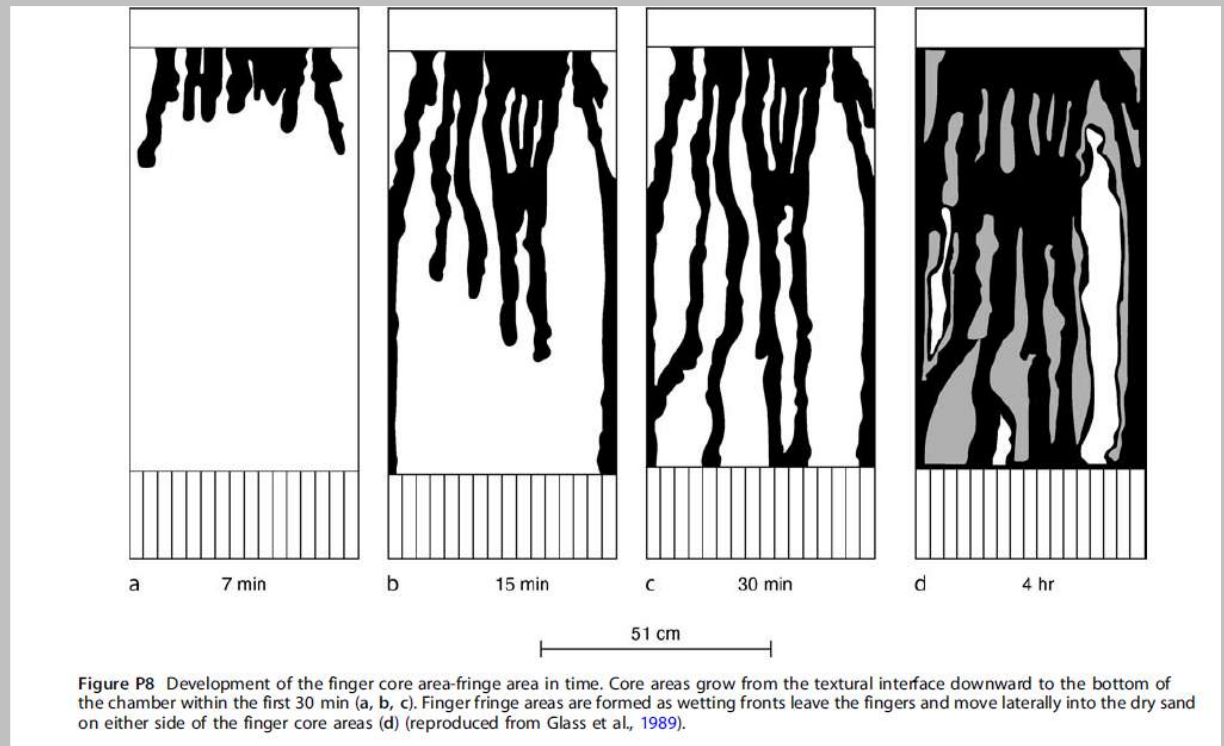
Propriedades térmicas do solo e materiais de origem

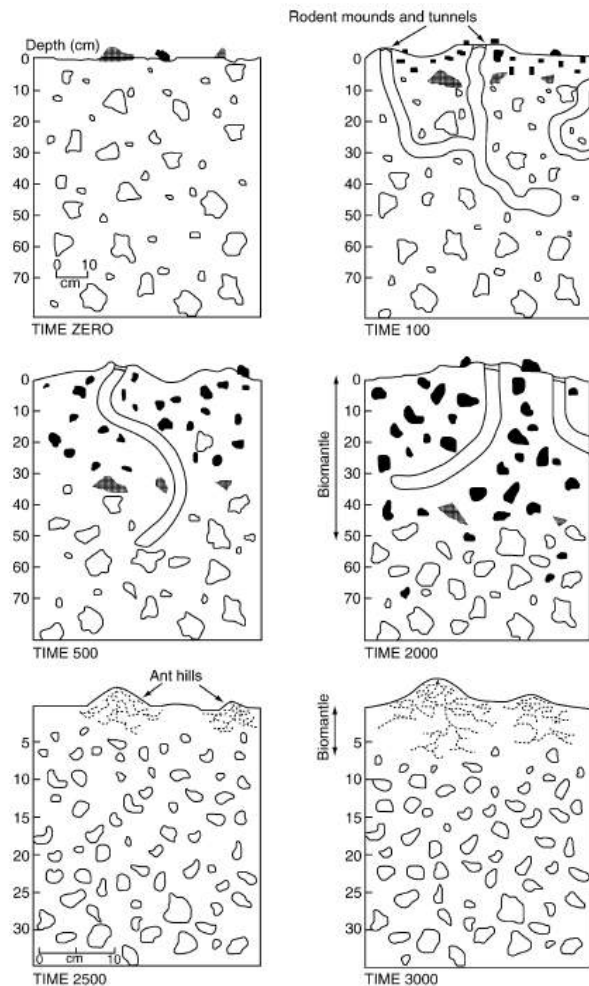
SUPERFÍCIE/solo	CONDUTIVIDADE TÉRMICA $W \cdot m^{-1} \cdot K^{-1}$	CAPACITÂNCIA TÉRMICA $10^6 W \cdot s^{-1} m^{-3} \cdot K^{-1}$	DIFUSIVIDADE TÉRMICA $10^{-6} m^2 \cdot s^{-1}$
GRANITO	2,73	2,13	1,28
AREIA ÚMIDA (40%)	2,51	2,76	0,91
AREIA SECA	0,30	1,24	0,24
SOLO ARENO-ARGILOSO	0,92	2,42	0,38
SOLO LODOSO (90% DE ÁGUA)	0,89	3,89	0,23

Albedo de algumas superfícies naturais

SUPERFÍCIE	ALBEDO
SOLO SECO	0,25 a 0,30
SOLO ÚMIDO	0,10 a 0,12
AREIA BRANCA	0,34 a 0,40
GRAMA	0,18 a 0,20
PINHEIRAL	0,14
ÁGUA – SOL A PINO	0,13
ÁGUA – SOL A 30 GRAUS	0,024
NEVE	0,75-0,98







○ Undisturbed coarse fragment ▣ Archeological artifact ● Coarse fragment moved by rodent activities

PEDOTURBAÇÃO

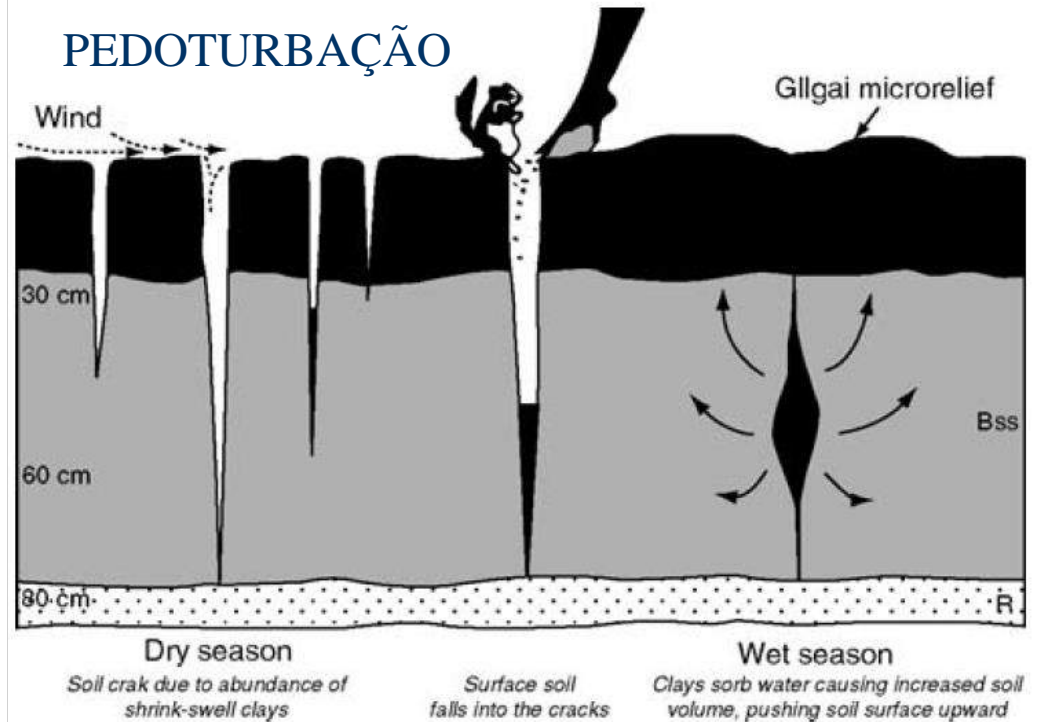
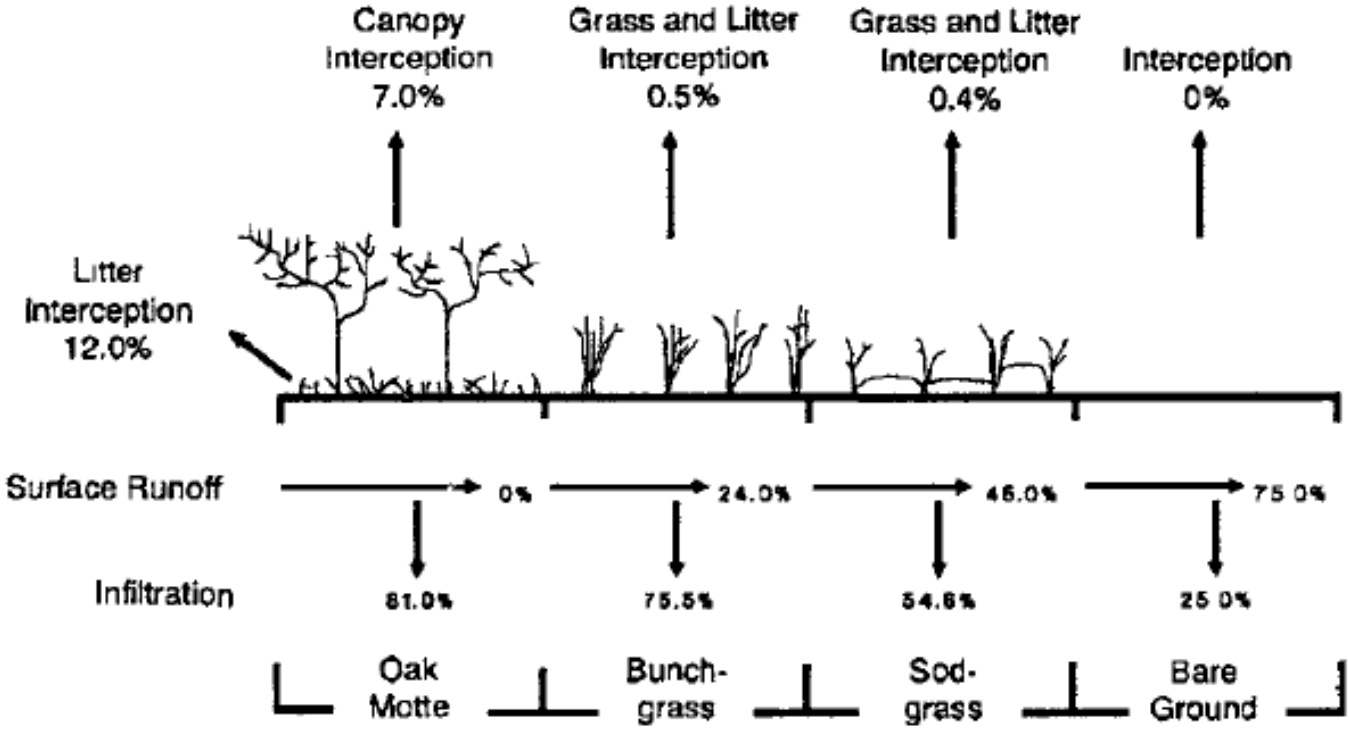


Figure P7 Vertisol horizonation and genesis (after Buol et al., 2003).

A cobertura vegetal modula o balanço hídrico da superfície.



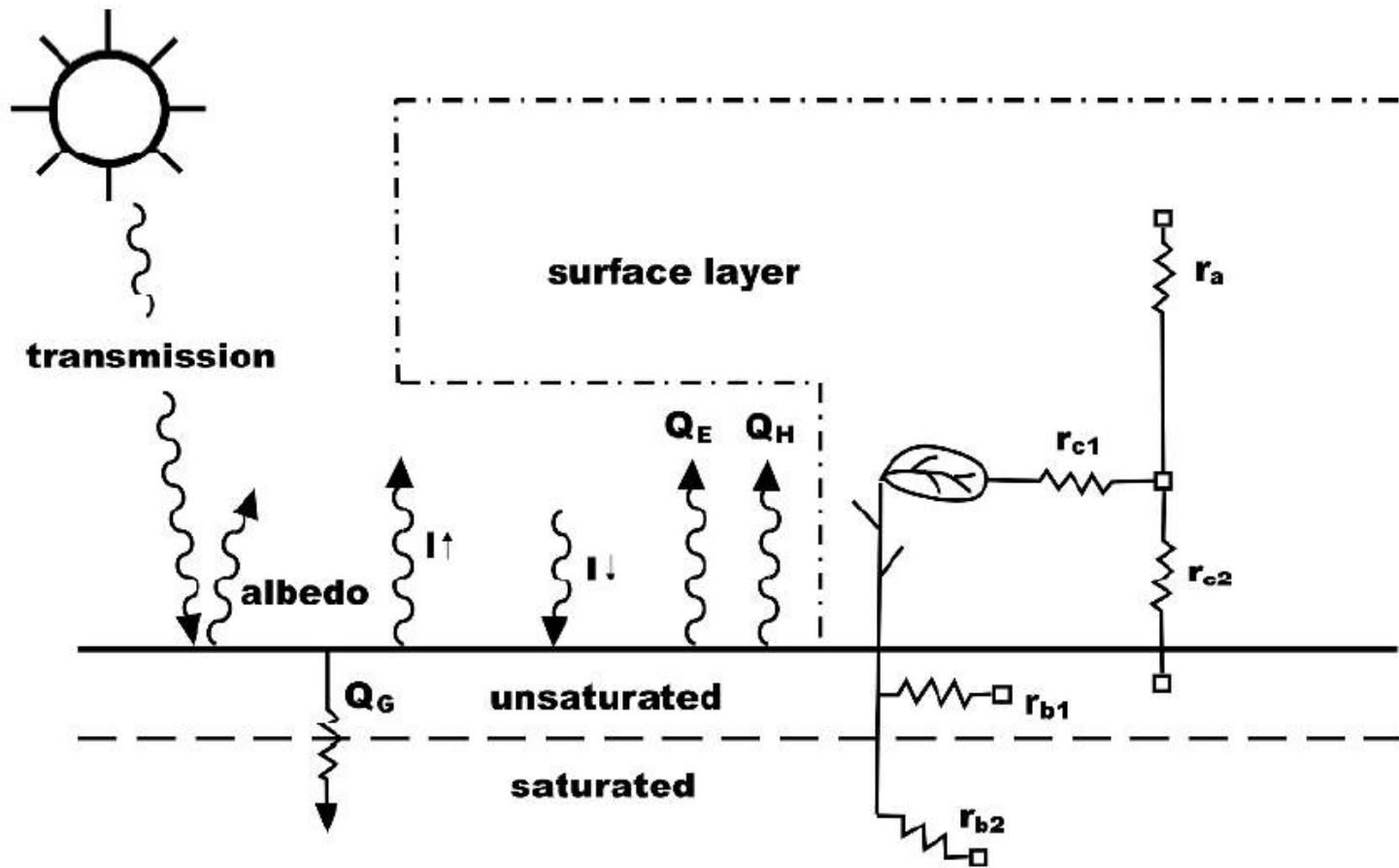


Fig. 5.2. Schematic representation of the modeling of the atmospheric surface layer including plants and soil (Blackadar 1997)

Table 1.3. Thermal molecular conductivity a_G , volumetric heat capacity C_G , and molecular thermal diffusivity ν_T for different soil and ground properties (Stull 1988)

ground surface	a_G in $\text{W m}^{-1} \text{K}^{-1}$	C_G in $10^6 \text{ W s m}^{-3} \text{K}^{-1}$	ν_T in $10^{-6} \text{ m}^2 \text{s}^{-1}$
rocks (granite)	2.73	2.13	1.28
moist sand (40 %)	2.51	2.76	0.91
dry sand	0.30	1.24	0.24
sandy clay (15%)	0.92	2.42	0.38
swamp (90 % water)	0.89	3.89	0.23

Table 1.1. Albedo of different surfaces (Geiger *et al.* 1995)

surface	albedo
clean snow	0.75–0.98
grey soil, dry	0.25–0.30
grey soil, wet	0.10–0.12
white sand	0.34–0.40
wheat	0.10–0.25
grass	0.18–0.20
oaks	0.18
pine	0.14
water, rough, solar angle 90°	0.13
water, rough, solar angle 30°	0.024

Thermal conductivity (λ) of some soil materials.

Soil	Dry θ_v	λ W m ⁻¹ K ⁻¹	Wet θ_v	λ W m ⁻¹ K ⁻¹
Fairbanks sand	0.003	0.33	0.18	2.08
quartz sand	0.00	0.25	0.40	2.51
sand	0.02	0.9	0.38	2.25
sand	0.00	0.27	0.38	1.77
sand	0.003	0.32	0.38	2.84
gravelly coarse sand (pumice)	0.02	0.13	0.40	0.52
medium and coarse gravel (pumice)	0.01	0.09	0.43	0.39
loamy sand	0.01	0.25	0.40	1.59
loam	0.01	0.20	0.60	1.05
Avondale loam	0.08	0.46	0.23	0.88
Avondale loam	0.03	0.31	0.30	1.20
silt loam	0.09	0.40	0.50	1.0
Yolo silt loam	0.14	0.49	0.34	1.13
Muir silty clay loam	0.03	0.30	0.30	0.90
silty clay loam	0.01	0.20	0.59	1.09
Pullman silty clay loam	0.07	0.16	0.29	0.89
Healy clay	0.04	0.30	0.30	0.91
Fairbanks peat	0.03	0.06	0.61	0.37
forest litter	0.02	0.10	0.55	0.40

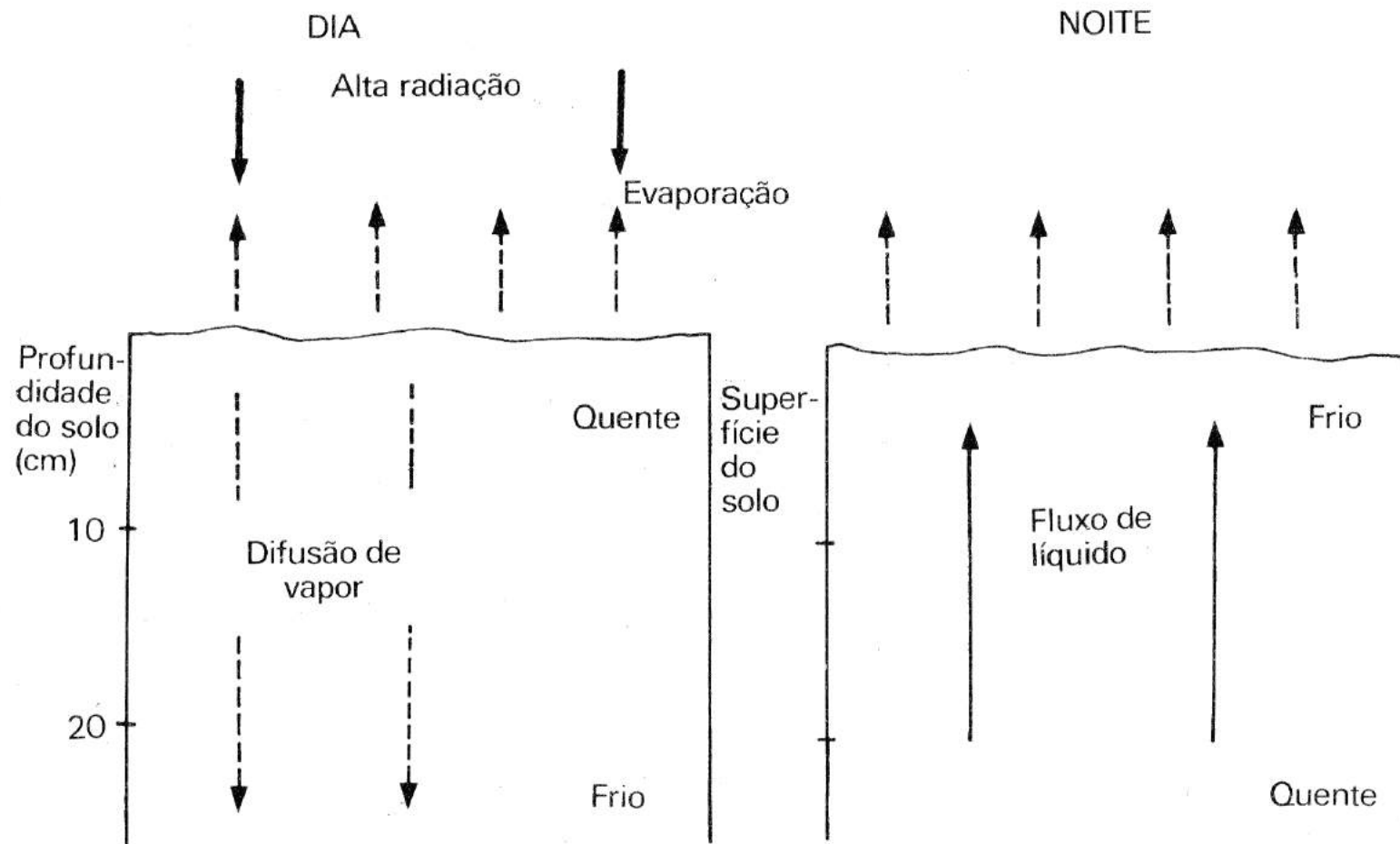
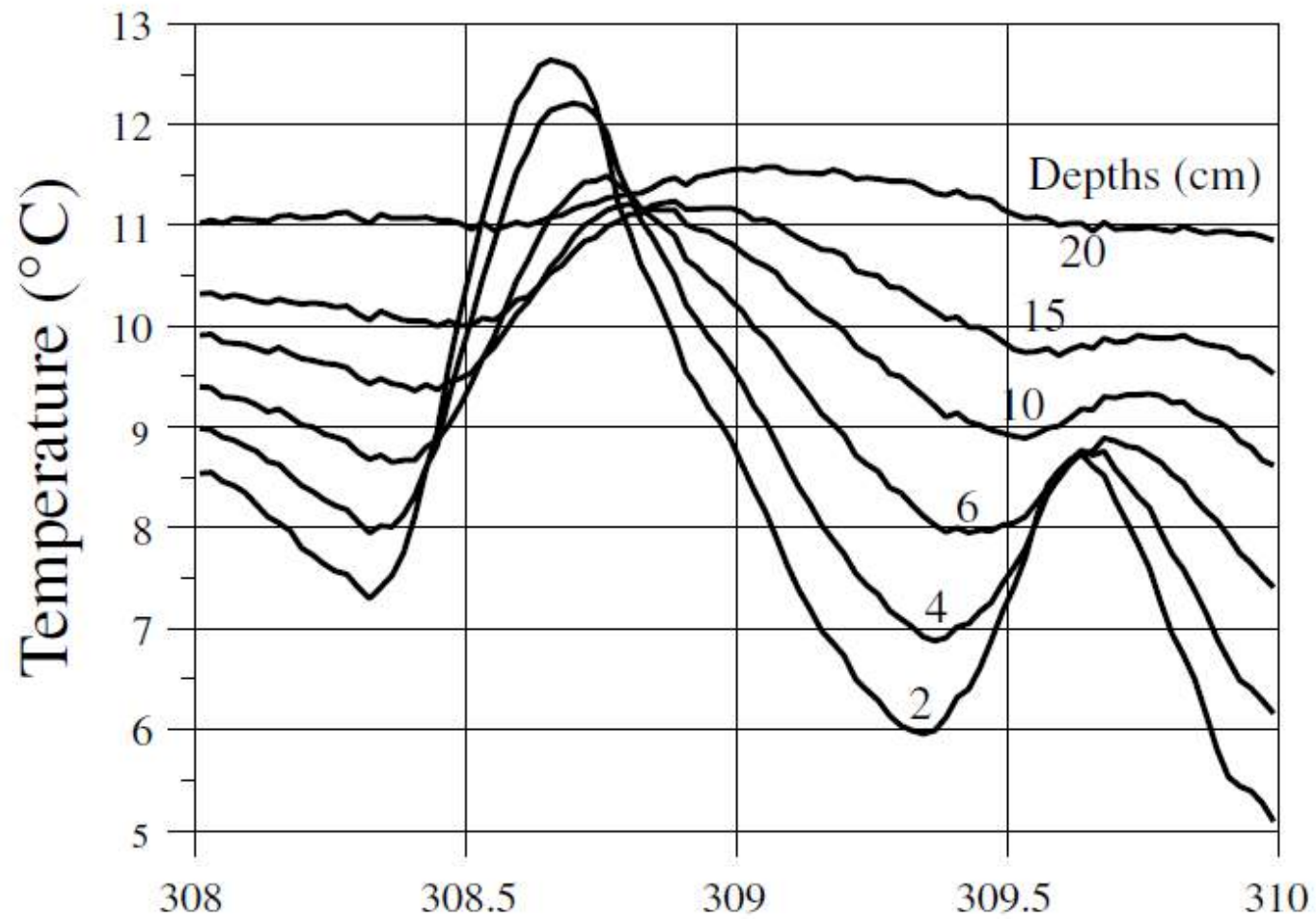


Fig. 1.2.19. — Variação diurna do movimento do vapor de água e da água líquida nas superfícies dos solos secos.



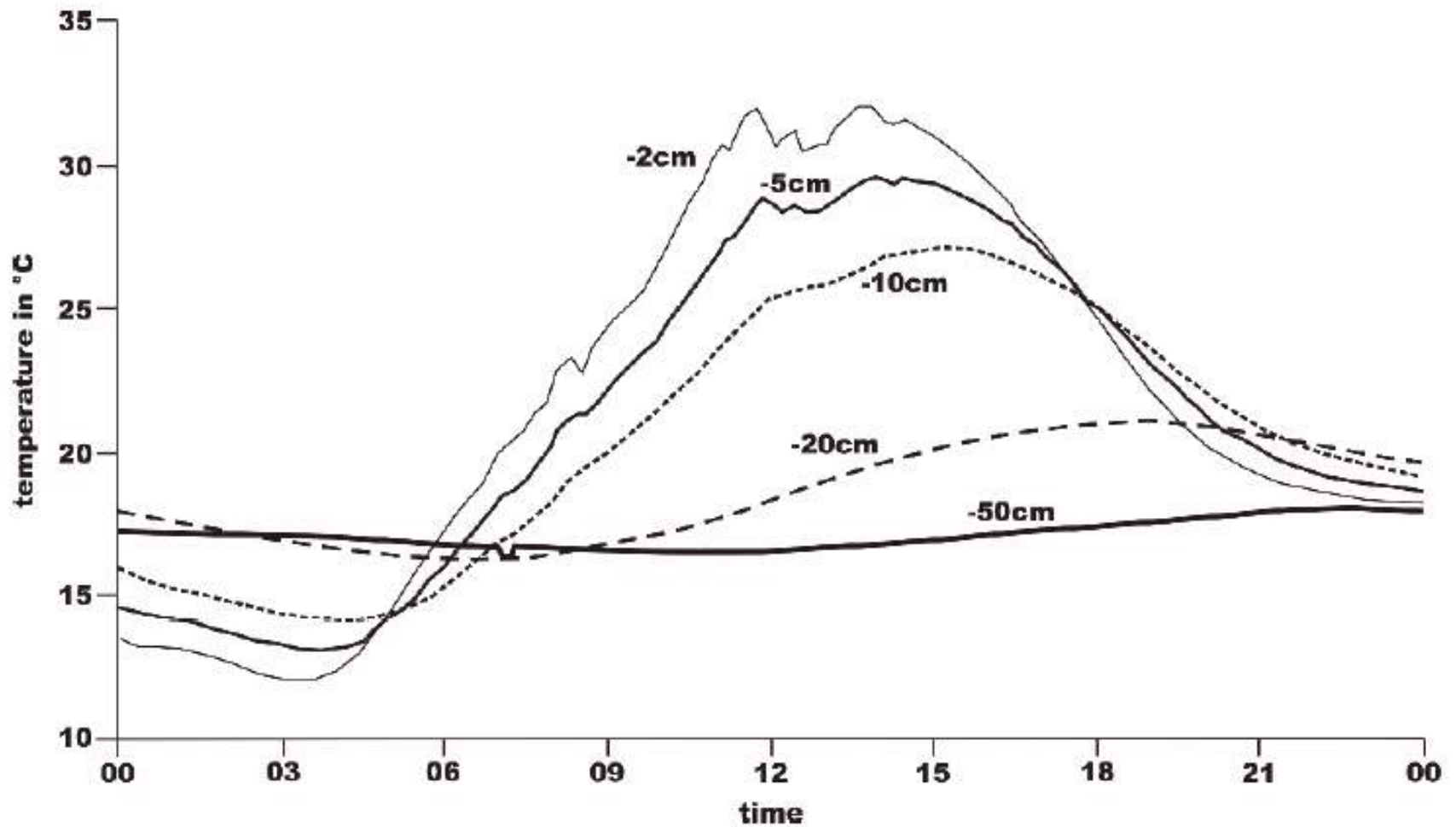


Fig. 1.10. Daily cycle of soil temperatures at different depth, measured by the University of Bayreuth during the LITFASS-98 experiment (*bare soil*) at the boundary layer measuring field site of the Meteorological Observatory Lindenberg (high clouds from 12:00 to 14:00)

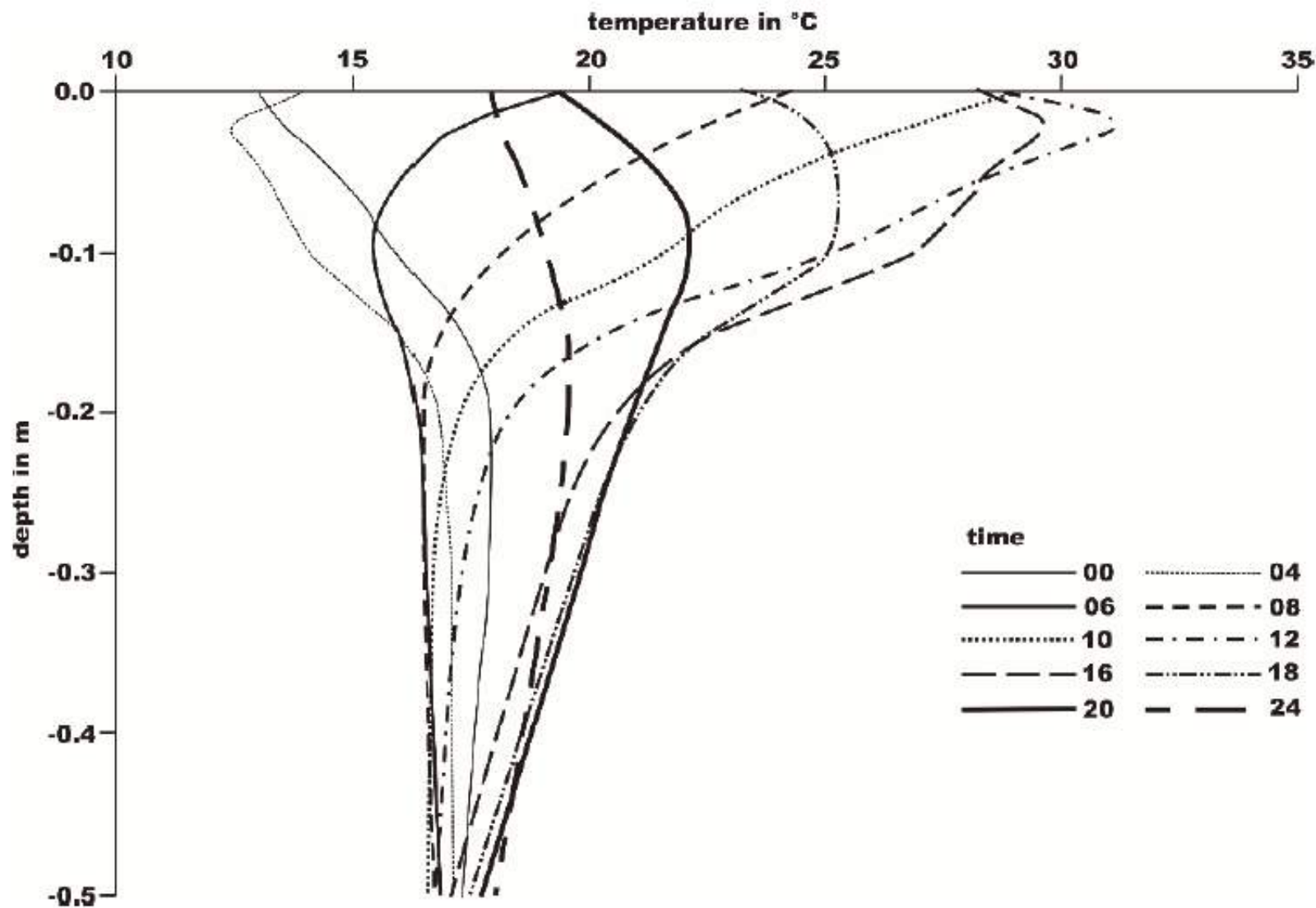
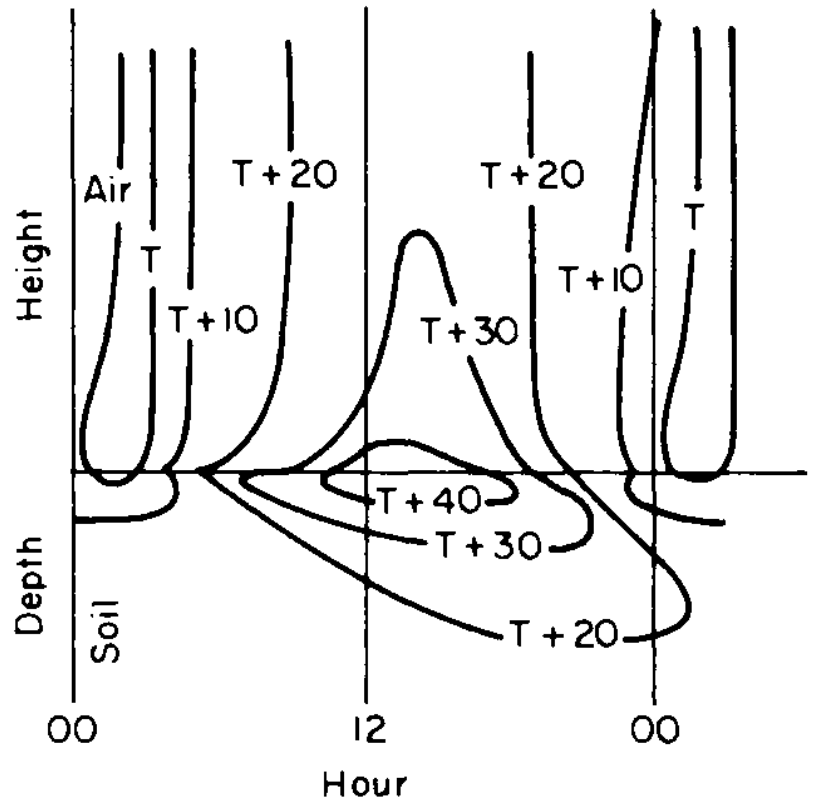
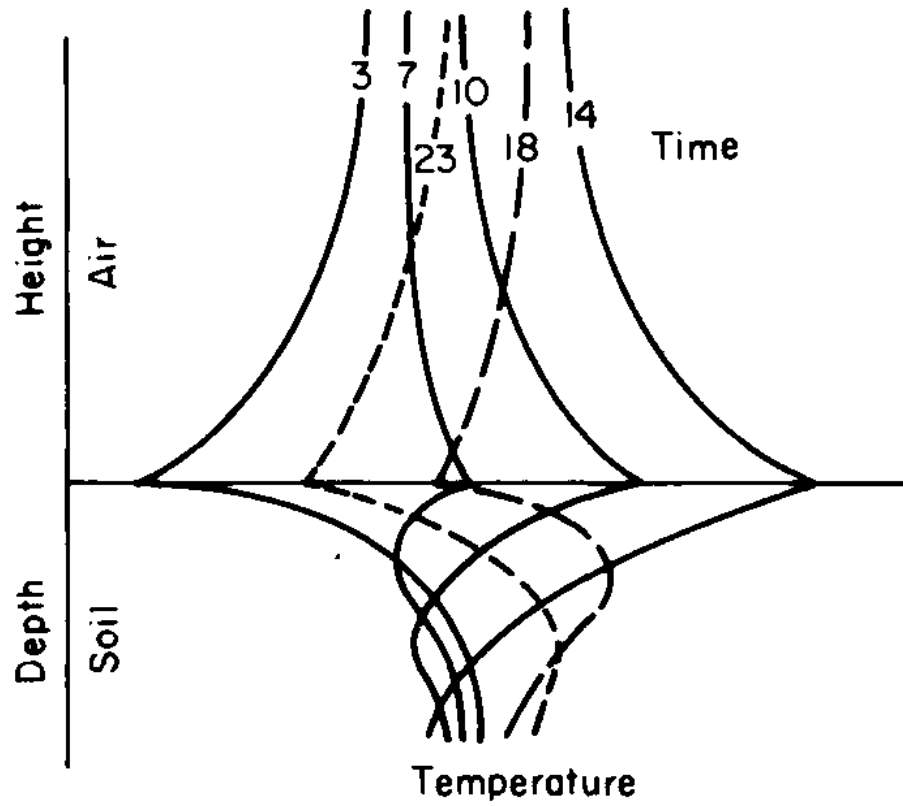


Fig. 1.9. Temperature profile in the upper soil layer on June 05, 1998, measured by the University of Bayreuth during the LITFASS-98 experiment (*bare soil*) at the boundary layer measuring field site of the Meteorological Observatory Lindenberg (high clouds from 12:00 to 14:00)



Medidores de potencial
hídrico do solo:


<-Blocos de gesso




Tensiômetros



<https://youtu.be/fZ2Mv2ffiaM>



Journal of Plant Physiology
Volume 203, 20 September 2016, Pages 16-28



Review

Contribution of soil respiration to the global carbon equation ☆

Ming Xu ^{a, b} ✉, Hua Shang ^a

☒ Show more

<https://doi.org/10.1016/j.jplph.2016.08.007> [Get rights and content](#)

Plant Soil (2012) 359:183–195
DOI 10.1007/s11104-012-1195-6

REGULAR ARTICLE

Biological functioning of Brazilian Cerrado soils under different vegetation types

Ieda de Carvalho Mendes •
Marcelo Ferreira Fernandes •
Guilherme Montandon Chaer •
Fábio Bueno dos Reis Junior

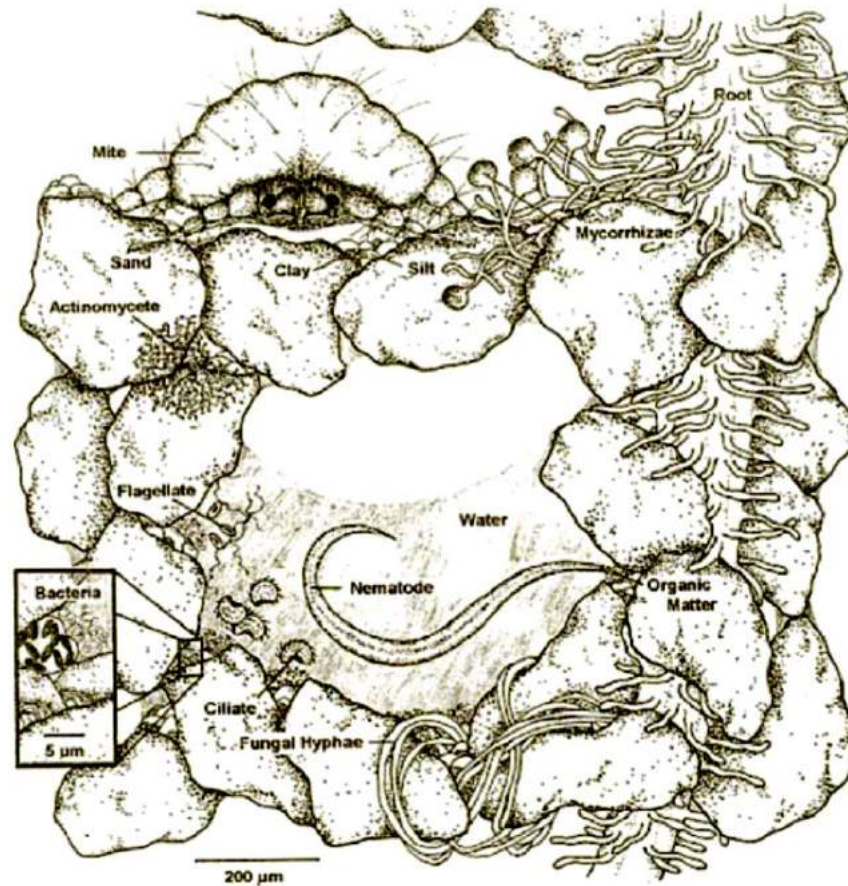
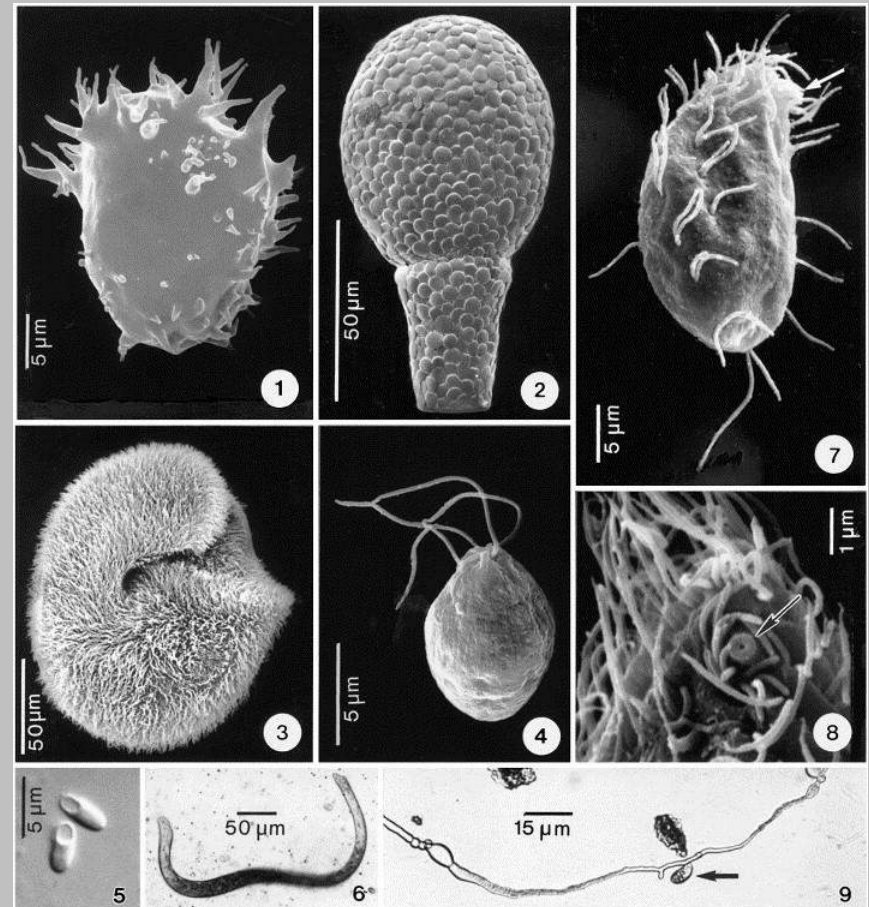
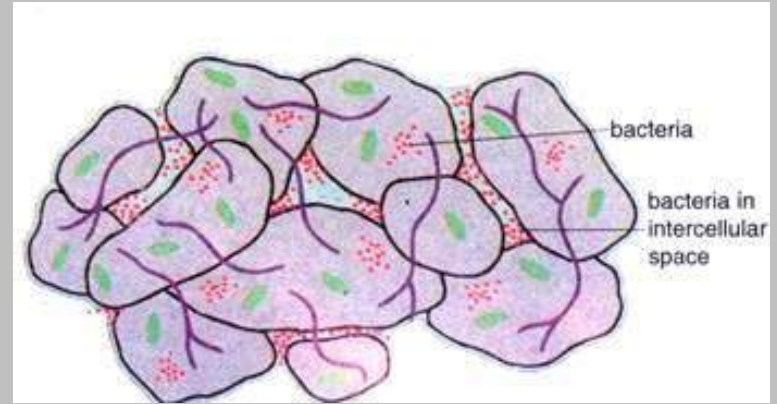


Figure S49 A soil habitat containing mineral soil particles, organic matter, water, plant root with root hairs, and soil organisms. The actual size of the soil in this drawing is slightly greater than 1 mm^2 (original drawing by Kim Luoma. Courtesy of Peter G. Hartel).

MICROHABITATS NO SOLO

A quantidade de organismos nos microhabitats do solo varia com a estrutura dos agregados e a textura. A composição granulométrica que reflete no espaço entre os poros pode oferecer afeta a composição da biota edáfica. A mobilidade dos organismos afeta a composição da atividade microbiana nas raízes das plantas podendo interferir em processos importantes no uso dos nutrientes. Enquanto bactérias podem ter acesso a solos com maior compactação, colônias de bactérias e protozoários menores necessitam de poros de 2 μ m pelo menos enquanto poros menores que 30 μ m reduzem drasticamente a maior parte da biota decompositora do solo.



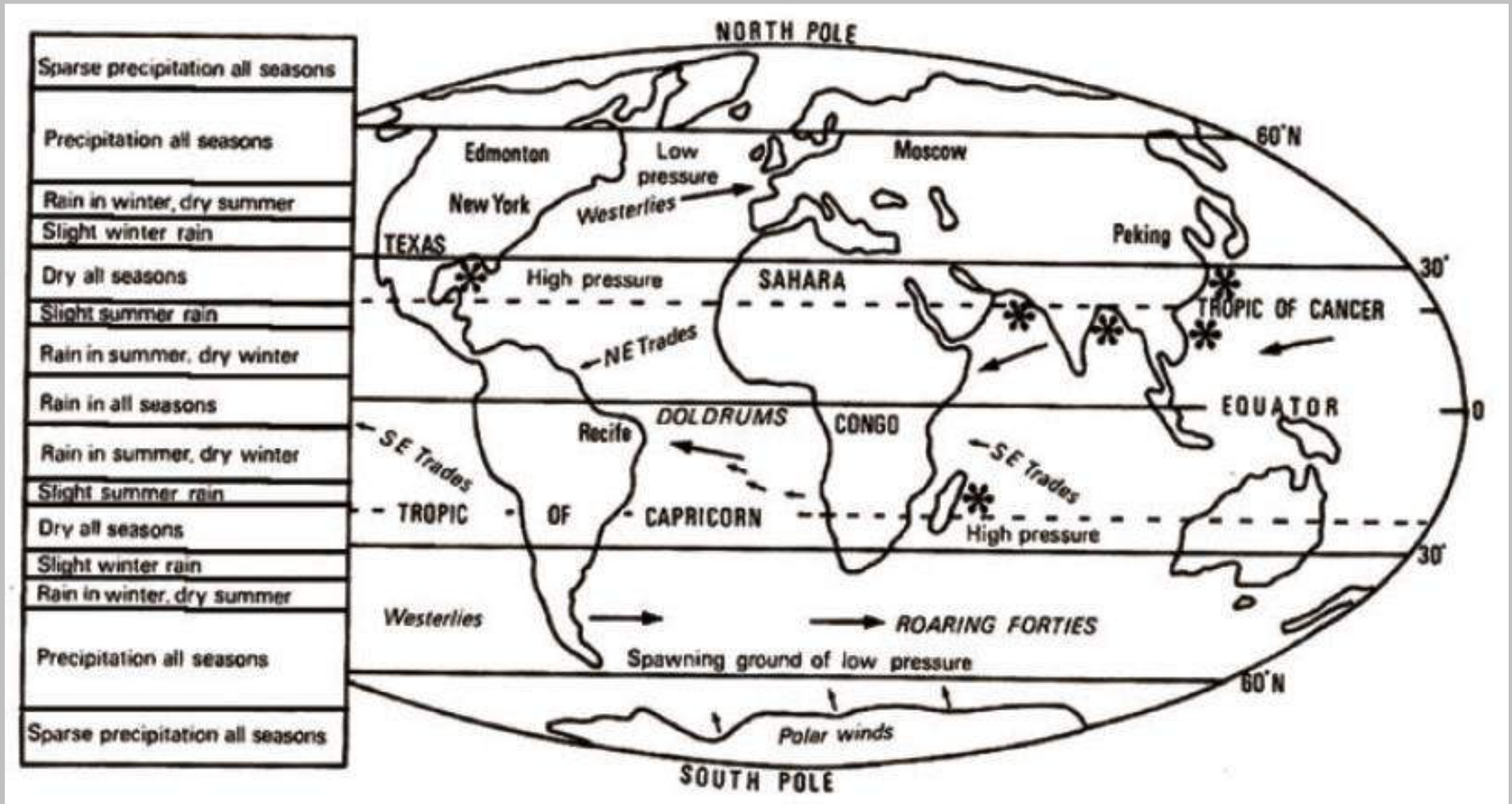
Desertificação

- ◆ O que é um “deserto”:

Região com precipitação média anual menor do que 100mm (definição nem sempre eficaz para explicar a aridez);

Região definida por um déficit hídrico pela razão entre precipitação e demanda evaporativa;

Cinturões climáticos



Razão de Budyko-Lettau

$$D = R / (L \times P)$$

D = índice de secura;

R = ganho líquido anual de radiação;

P = precipitação média anual;

L = calor latente de evaporação da água

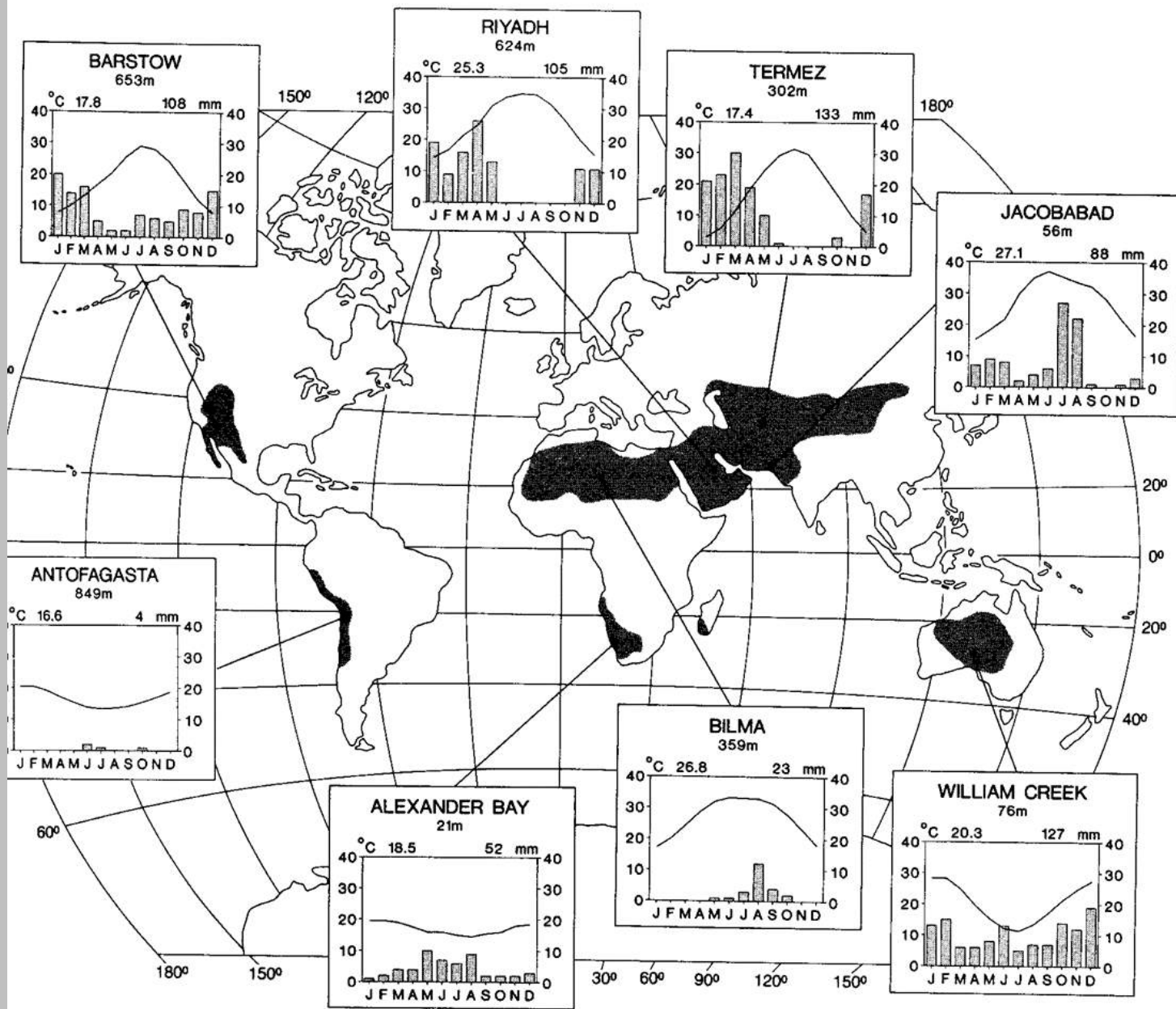
Concepção original:

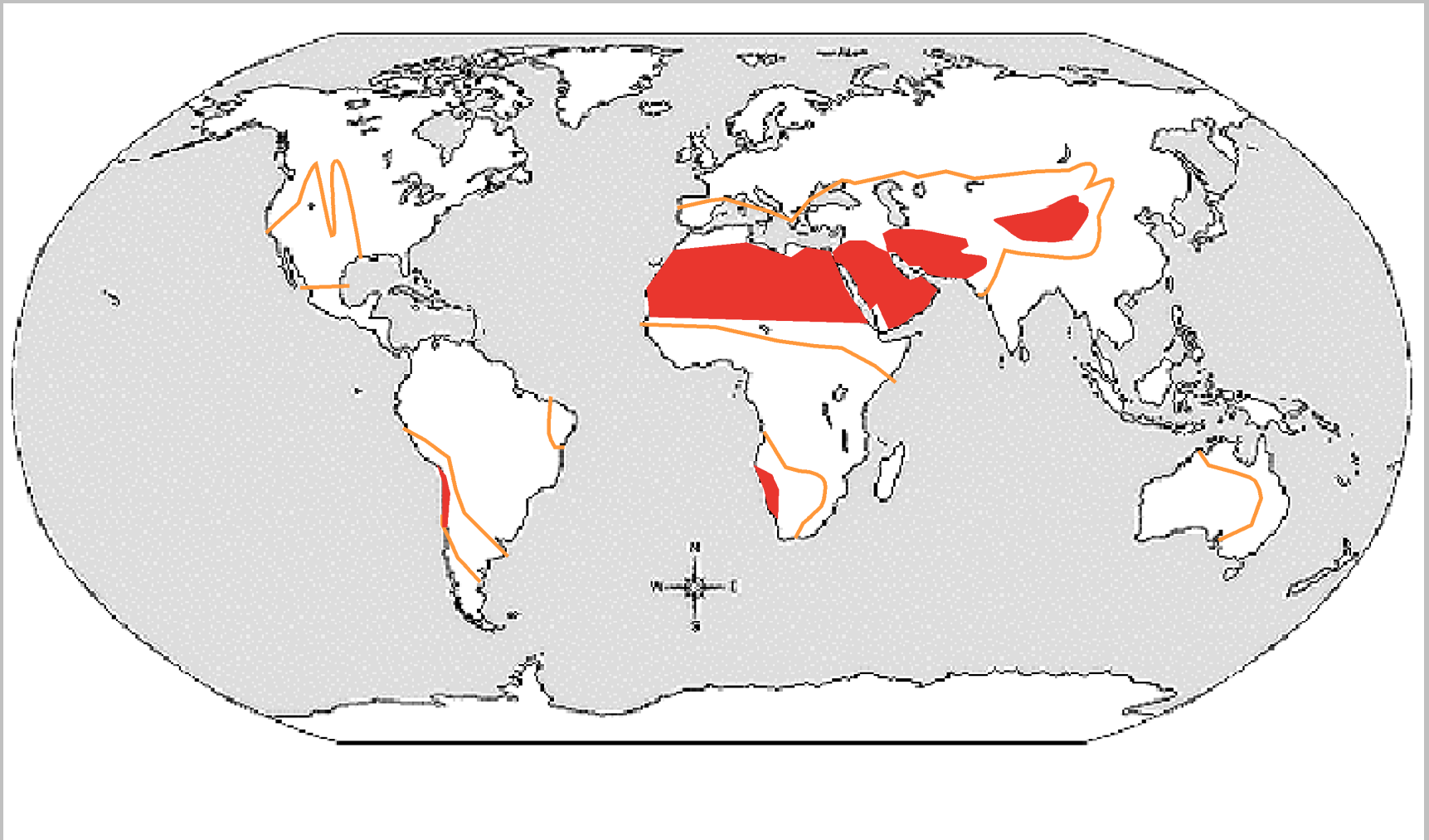
$D > 2.3 =$ semi-deserto; $D \geq 3.4 =$ deserto

UNESCO: $D \geq 10 =$ deserto extremo

INTERPRETAÇÃO DO ÍNDICE DE BUDYKO

>90	“Extremely above the average”	10
80–90	“Significantly above the average”	9
70–80	“Above the average”	8
30–70	“Average”	4–7
20–30	“Below the average”	3
10–20	“Significantly below the average”	2
<10	“Extremely below the average”	1

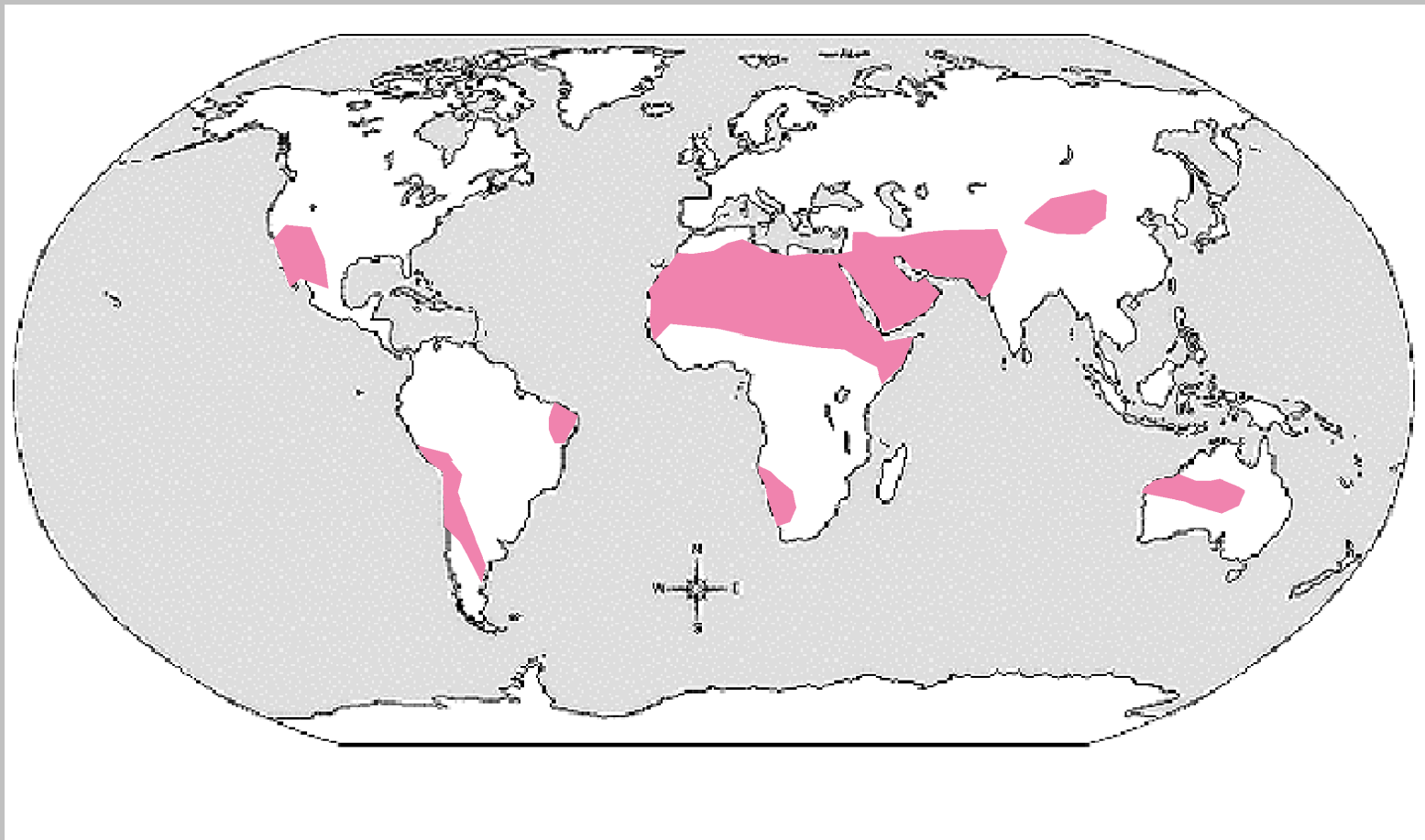




Linha -semiárido
($D \geq 2.3$)

Área vermelha- deserto
($D \geq 10$)

Imprevisibilidade:
areas com variações maiores do que
30% na precipitação



Desiertos de mar frio



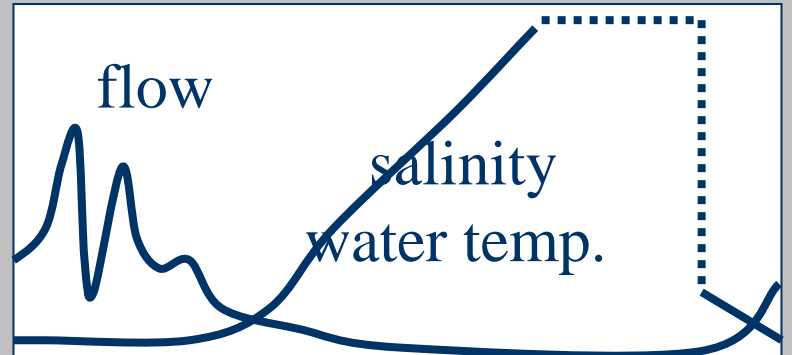
Atacama



Namib desert

Desertos salinos





Temperaturas

